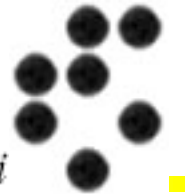




Univerza v Ljubljani



# Kršitev CP in pingvini

Peter Križan

*FMF UL in IJS*



# Vsebina

---

Uvod

Eksperimentalna aparatura: Belle in KEK-B

Kršitev CP v sistemu mezonov B

Pingvini

Prehodi z spremembo okusa in nevtralnim tokom

Načrti za prihodnost



# Uvod

Osnovni delci	1. družina	2. družina	3. družina
kvarki	u,d	s,c	b,t
leptoni	$e^-$ , $\nu_e$	$\mu^-$ , $\nu_\mu$	$\tau^-$ , $\nu_\tau$



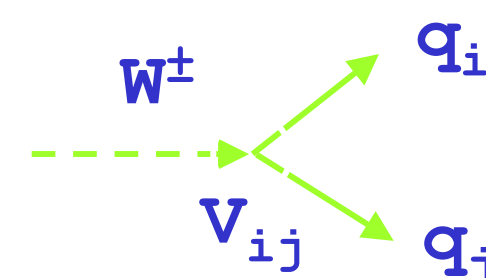
# Barioni in mezoni: vezana stanja kvarkov in anti-kvarkov

Barioni: proton: uud, nevron: udd

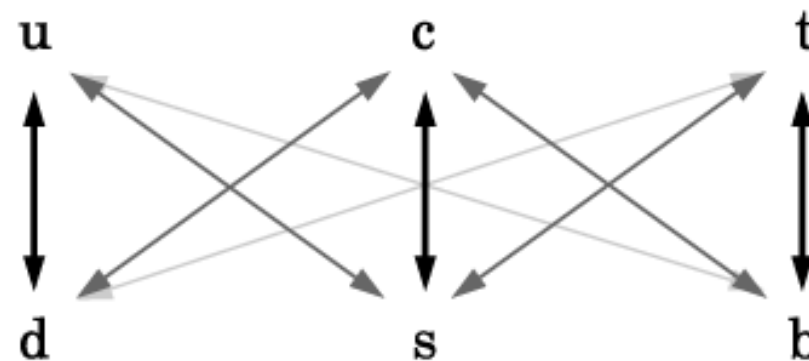
Mezoni:	masa
$\pi^+$ : kvark <b>u</b> + antikvark $\bar{d}$	$1/7 m_p$
$K^+$ : kvark <b>u</b> + antikvark $\bar{s}$	$1/2 m_p$
$K_S$ : kvark <b>d</b> + antikvark $\bar{s}$	$1/2 m_p$
$\phi$ : kvark <b>s</b> + antikvark $\bar{s}$	$1.1 m_p$
$J/\psi$ : kvark <b>c</b> + antikvark $\bar{c}$	$3 m_p$
$B^0$ : kvark <b>d</b> + antikvark $\bar{b}$	$5.5 m_p$

# Matrika CKM

Prehodi med kvarki z nabojem  $2/3$  in  $-1/3$ : kompleksni matrični elementi unitarne matrike CKM (Cabibbo-Kobayashi-Maskawa)

$$V_{CKM} = \begin{pmatrix} V_{ud} & V_{us} & V_{ub} \\ V_{cd} & V_{cs} & V_{cb} \\ V_{td} & V_{ts} & V_{tb} \end{pmatrix}$$


Prehodi med kvarki iste družine so bistveno bolj verjetni (=debelejše črte) kot ostali



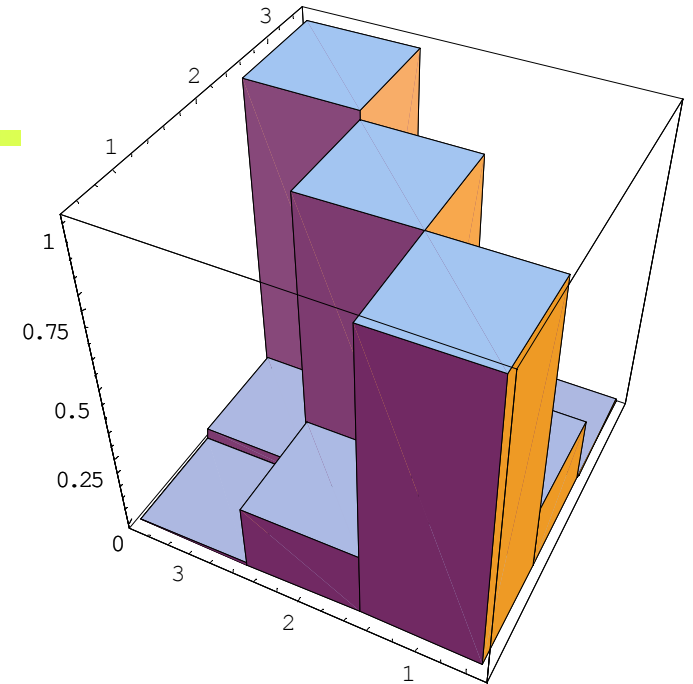


# Matrika CKM

→ matrika za prehode je skorajda diagonalna

Wolfensteinova parametrizacija: razvoj po parametru  $\lambda$  ( $=\sin\theta_c=0.22$ )

A,  $\rho$  and  $\eta$ : reda velikosti 1



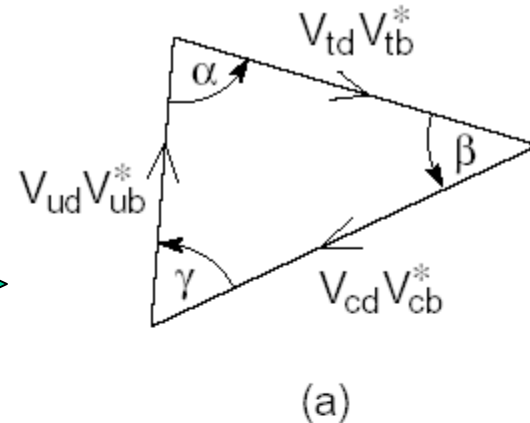
$$V = \begin{pmatrix} 1 - \frac{\lambda^2}{2} & \lambda & A\lambda^3(\rho - i\eta) \\ -\lambda & 1 - \frac{\lambda^2}{2} & A\lambda^2 \\ A\lambda^3(1 - \rho - i\eta) & -A\lambda^2 & 1 \end{pmatrix} + O(\lambda^4)$$

# Unitarni trikotnik

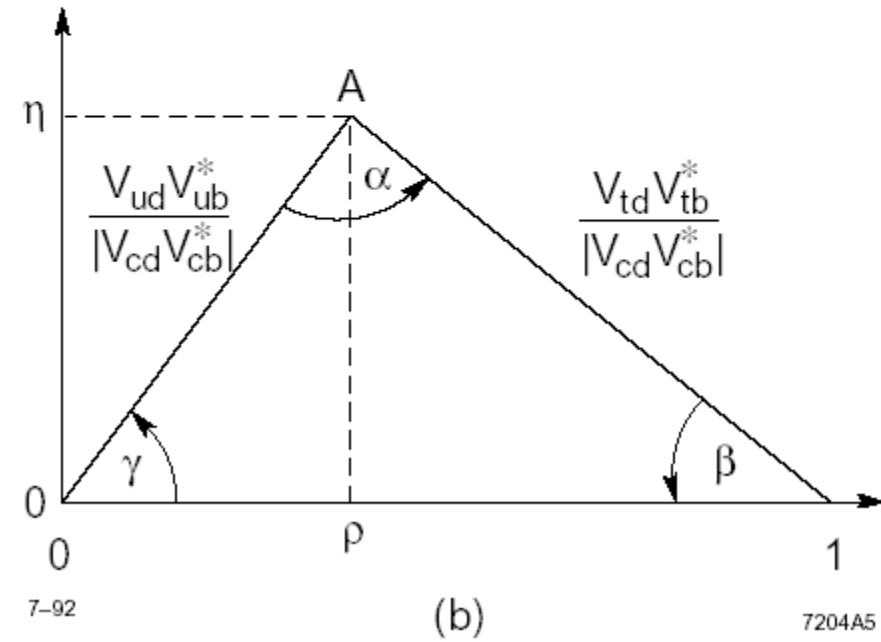
Unitarnost: vrstice in stolpci so ortogonalni.

Na primer:

$$V_{ud} V_{ub}^* + V_{cd} V_{cb}^* + V_{td} V_{tb}^* = 0$$



(a)



(b)

V rabi so še oznake:

$$\phi_1 = \beta, \phi_2 = \alpha, \phi_3 = \gamma$$



# Simetrija CP

---

Simetrijska operacija CP: pretvori delec v anti-delec

Če se delec in anti-delec ne obnašata vedno enako – torej če na primer različno razpadata, je to kršitev simetrije CP.

Ker je bilo ob nastanka vesolje sestavljeni iz enakega števila delcev in anti-delcev, danes pa je sestavljeni skoraj izključno iz snovi (=delcev), in ne iz anti-snovi, je ta simetrija očitno kršena!

→ Zelo pomembno: razumeti kako in zakaj je ta simetrija kršena.



## Kršitev CP pri mezonih B

---

Kršitev simetrije CP so prvič izmerili pred 40 leti pri nevtralnih kaonih – in to je bil do pred kratkim edini sistem, kjer smo jo lahko preučevali.

Zakaj naj bi bila kršitev CP drugačna pri drugem paru kvarkov ( $b\bar{d}$  (=B) namesto  $s\bar{d}$  (=K))?

Nekateri pojavi so močno odvisni od energije, ki je zanje na razpolago: masivnejši kvarki so zato potencialno zelo zanimivi.

Kvark b je najtežji kvark, ki še tvori vezano stanje, mezon B.

Meritev kršitve CP pri mezonih B: po odkritju mešanja (ARGUS 1987) → taka meritev je možna!



# Časovni razvoj v sistemu mezonov B

Časovni razvoj poljubne linearne kombinacije nevtralnega mezona B in njegovega antidelca

$$a|B^0\rangle + b|\bar{B}^0\rangle$$

določa časovno odvisna Schroedingerjeva enačba

$$i \frac{d}{dt} \begin{pmatrix} a \\ b \end{pmatrix} = H \begin{pmatrix} a \\ b \end{pmatrix} = (M - i\Gamma) \begin{pmatrix} a \\ b \end{pmatrix}$$

M in  $\Gamma$  sta hermitski  $2 \times 2$  matriki.

$CPT$  invarianca  $\rightarrow H_{11} = H_{22}$



# Časovni razvoj v sistemu mezonov B

Lastni stanji ('masni') sta lahki  $B_L$  in težki  $B_H$

$$|B_L\rangle = p|B^0\rangle + q|\bar{B}^0\rangle$$

$$|B_H\rangle = p|B^0\rangle - q|\bar{B}^0\rangle$$

Za razliko lastnih vrednosti velja

$$\Delta m_B = m_H - m_L,$$

$$\Delta \Gamma_B = \Gamma_H - \Gamma_L$$



# Časovni razvoj v sistemu mezonov B

---

Poljubno stanje lahko zapišemo kot linearne kombinacije  
stanj  $B_H$  and  $B_L$ , njuni amplitudi pa se tako spremojata s  
časom

$$a_H(t) = a_H(0)e^{-iM_H t} e^{-\Gamma_H t/2}$$

$$a_L(t) = a_L(0)e^{-iM_L t} e^{-\Gamma_L t/2}$$

Če smo ob  $t=0$  ustvarili stanje  $B^0$  (označimo z  $B_{\text{phys}}^0$ ), velja  
 $a_H(0) = a_L(0) = 1/(2p)$ ,

Če pa smo ustvarili anti-B ( $\text{anti-}B_{\text{phys}}^0$ ), je  $a_H(0) = a_L(0) = 1/(2q)$



# Časovni razvoj Bjev

Časovni razvoj lahko zapišemo tudi v bazi  $B^0$  in  $\bar{B}^0$

$$|B_{phys}^0(t)\rangle = g_+(t)|B^0\rangle + (q/p)g_-(t)|\bar{B}^0\rangle$$

$$|\bar{B}_{phys}^0(t)\rangle = (p/q)g_-(t)|B^0\rangle + g_+(t)|\bar{B}^0\rangle$$

kjer je

$$g_+(t) = e^{-iMt} e^{-\Gamma t/2} \cos(\Delta m t / 2)$$

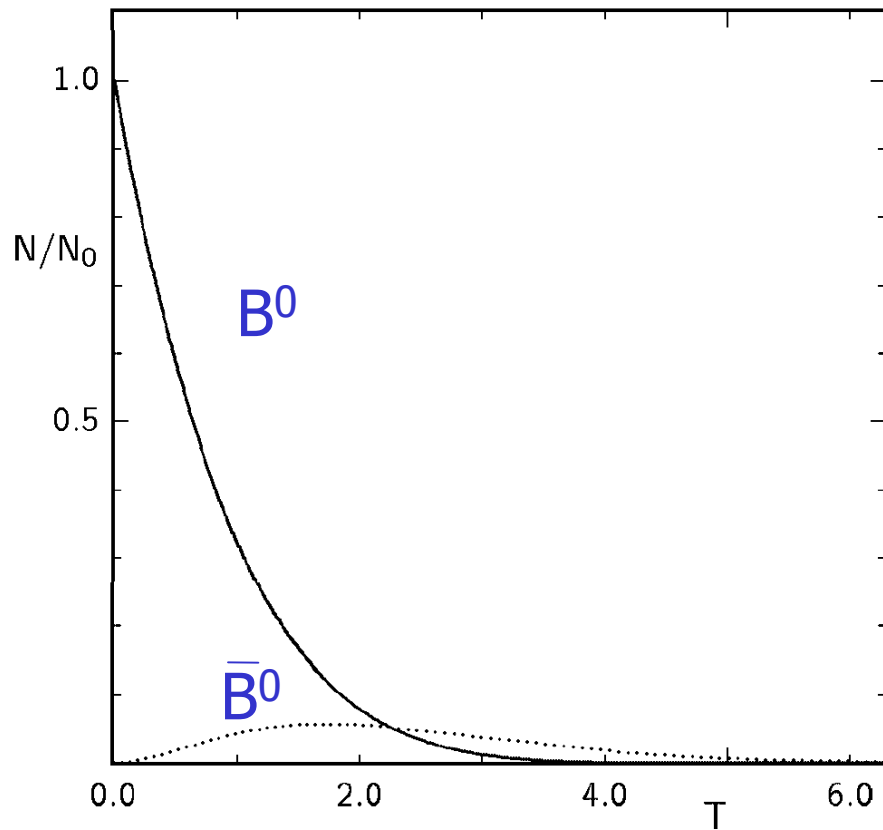
$$g_-(t) = e^{-iMt} e^{-\Gamma t/2} i \sin(\Delta m t / 2)$$

$$M = (M_H + M_L)/2$$

→ Začetni  $B^0$  se čez čas delno pretvori v  $\bar{B}^0$

→ Mešanje

# Mešanje



$B^0$  ob  $t=0$ , časovni razvoj:

- polna črta:  $B^0$ ,
- črtkana:  $\bar{B}^0$

$T$ : v enotah življenskega  
časa  $\tau = 1/\Gamma$

$$\Delta m_B / \Gamma_B = 0.73 \pm 0.05$$

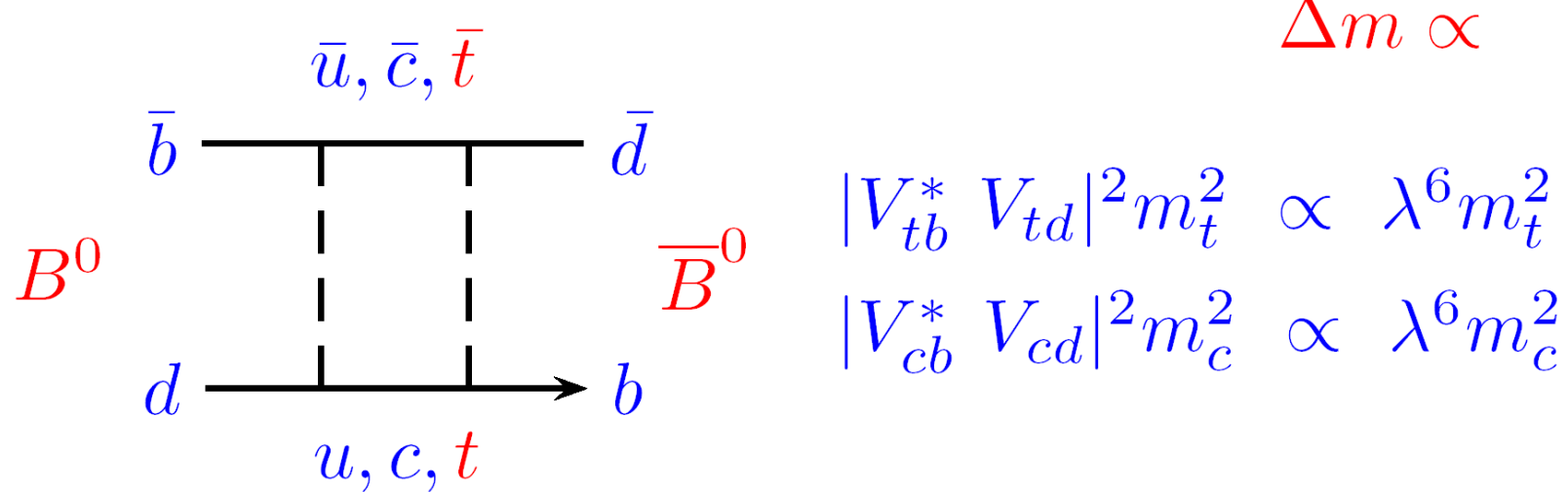
Odkritje mešanja: skupina ARGUS (1987)

>1000 citatov!

→ Phys.Lett. B192 (1987) 245.



# Nepričakovano močno mešanje (=velik $\Delta m$ ) v sistemu $B^0$ !



V Standardnem modelu: močno mešanje → velika masa kvarka t

Kvark t so odkrili šele nekaj let kasneje!



# Razpadna verjetnost

Verjetnost za razpad

$$P(B^0 \rightarrow f, t) \propto \left| \langle f | H | B_{phys}^0(t) \rangle \right|^2$$

Amplituda za razpada B and  
anti-B v isto končno stanje  $f$

$$A_f = \langle f | H | B^0 \rangle$$

$$\bar{A}_f = \langle f | H | \bar{B}^0 \rangle$$

Razpadna amplituda kot funkcija časa:

$$\begin{aligned} \langle f | H | B_{phys}^0(t) \rangle &= g_+(t) \langle f | H | B^0 \rangle + (q/p) g_-(t) \langle f | H | \bar{B}^0 \rangle \\ &= g_+(t) A_f + (q/p) g_-(t) \bar{A}_f \end{aligned}$$

... in podobno za anti-B



# Asimetrija v razpadni verjetnosti

Asimetrija v verjetnosti za razpad:

$$\begin{aligned} a_f &= \frac{P(\bar{B}^0 \rightarrow f, t) - P(B^0 \rightarrow f, t)}{P(\bar{B}^0 \rightarrow f, t) + P(B^0 \rightarrow f, t)} = \\ &= C \cos(\Delta m t) + S \sin(\Delta m t) \\ &= \frac{(1 - |\lambda_f|^2) \cos(\Delta m t) - 2 \operatorname{Im}(\lambda_f) \sin(\Delta m t)}{1 + |\lambda_f|^2} \end{aligned}$$

kjer je:  $\lambda_f = \frac{q}{p} \frac{\bar{A}_f}{A_f}$

Če je poleg tega še  $|\lambda| = 1 \rightarrow$

$$a_f = -\operatorname{Im}(\lambda_f) \sin(\Delta m t)$$



## Asimetrija v razpadni verjetnosti $\rightarrow$ kršitev CP

Zveza med asimetrijo v verjetnosti za razpad in kršitvijo simetrije CP je najlepše vidna, če kot **končno stanje** izberemo:

$f=f_{CP}$  : lastno stanje simetrije CP,

recimo:

- $J/\psi K_S, J/\psi K_L$
- $\pi^- \pi^+, \rho^- \rho^+$
- $\phi K_S, \phi K_L$
- $D^+ D^-$

# Kršitev CP v razpadih $B \rightarrow J/\psi K_S$ in $B \rightarrow J/\psi K_L$

Za  $B \rightarrow J/\psi K_S, J/\psi K_L$  je  $|\lambda| = 1 \rightarrow$

$$a_f = -\text{Im}(\lambda_f) \sin(\Delta m t)$$

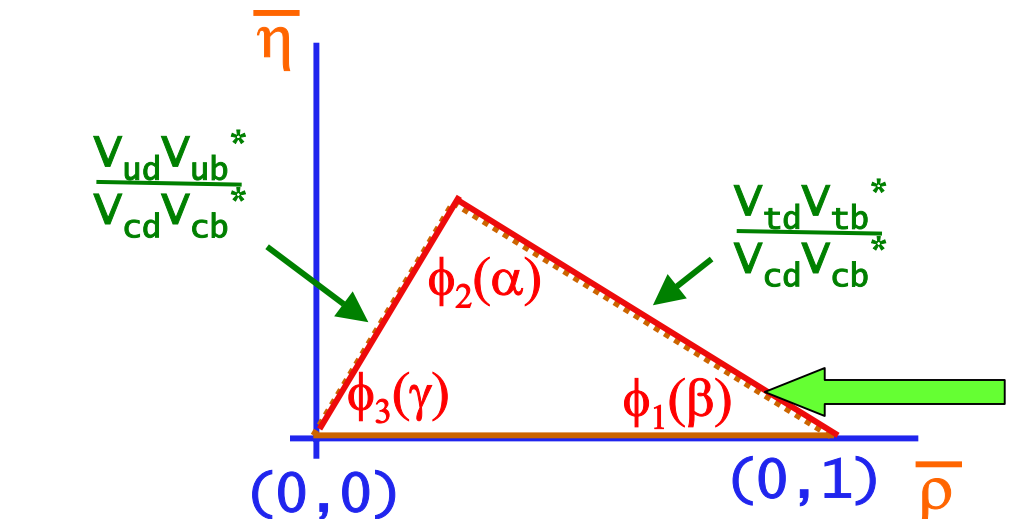
in

$$\text{Im}(\lambda_f) = \xi_f \sin 2\phi_1$$

$\phi_1$ : kot unitarnega trikotnika

$\xi_f$ : CP parnost končnega stanja

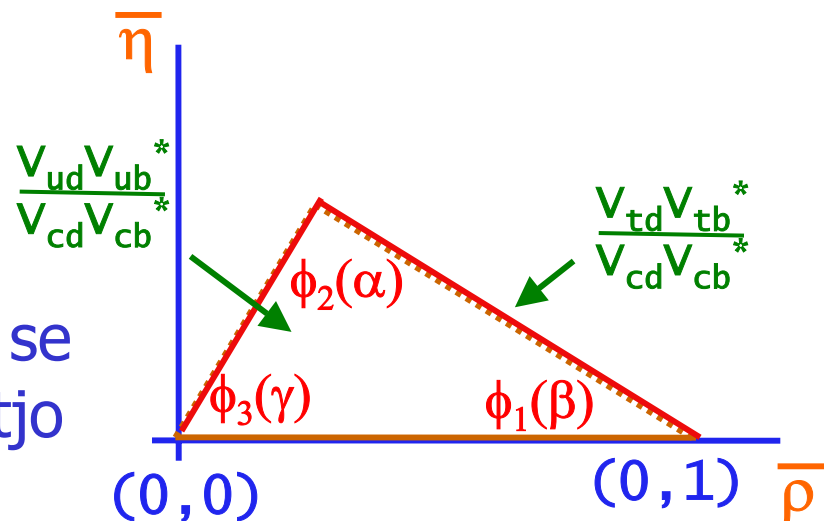
$$\xi_f = \pm 1 \text{ za } CP = \pm 1$$



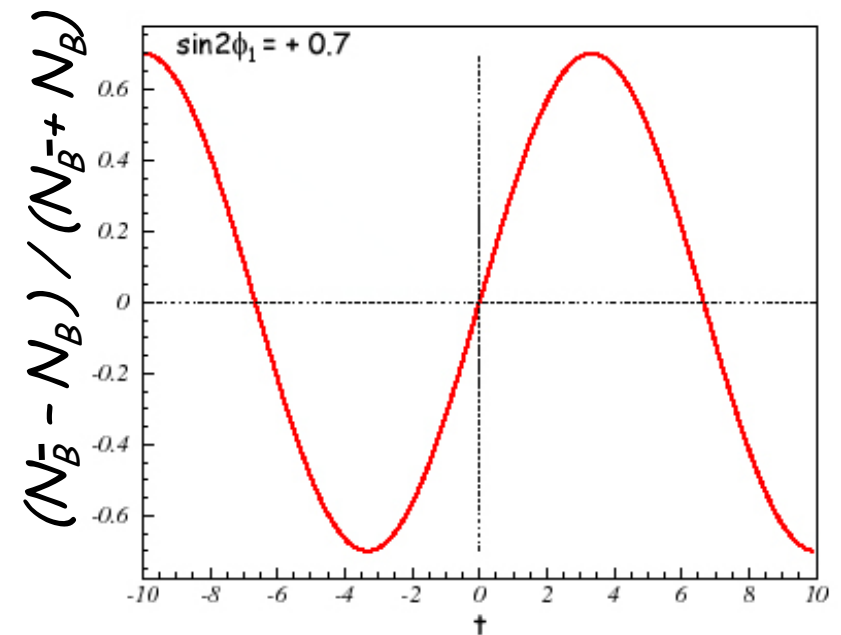
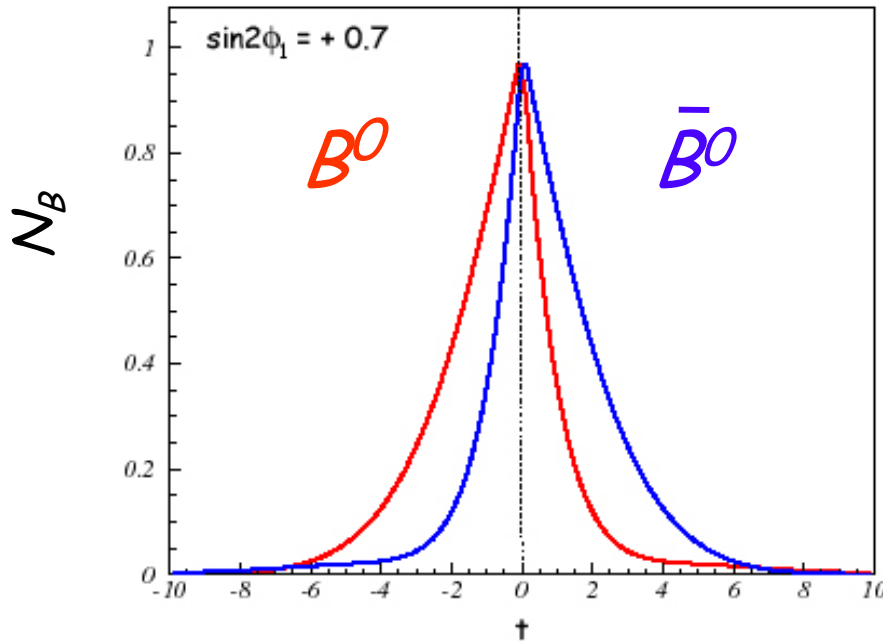
$J/\psi K_S : -1, J/\psi K_L : +1$

Pomen meritve:

- Z njo izmerimo kršitev CP v sistemu mezonov B
- V okviru SM nam omogoči meritev kompleksnih matričnih elementov matrike CKM
- Preverjanje konsistentnosti SM: kot se mora ujemati s pričakovano vrednostjo iz meritve stranic trikotnika
- Konsistentnost slike: asimetriji za  $J/\psi K_S$  in  $J/\psi K_L$  morata imeti nasproten predznak



# Kršitev CP: asimetrija v razpadni verjetnosti



→ 
$$a(t) = \frac{P(\bar{B}^0(t) \rightarrow f_{CP}) - P(B^0(t) \rightarrow f_{CP})}{P(\bar{B}^0(t) \rightarrow f_{CP}) + P(B^0(t) \rightarrow f_{CP})} = -\xi_f \sin 2\phi \sin \Delta m_B t$$

$\xi_f = \pm 1 \text{ for } CP = \pm 1$



## Meritev kršitve CP pri mezonih B

---

Kako izmeriti kršitev CP pri mezonih B?

Najprej jih moramo ustvariti: uporabimo reakcijo pri trku elektrona in pozitrona z dovolj veliko energijo:  $e^- e^+ \rightarrow Y(4s) \rightarrow B^0 \bar{B}^0$

Nato počakamo, da eden od obeh  $B^0$  razpade v stanje, za katero vemo, kakšna je njegova CP parnost (torej kako se obnaša pri simetrijski operaciji CP). Primer takega stanja je razpad

$B^0 \rightarrow J/\psi K_S$ . Razpadna produkta naprej razpadeta:

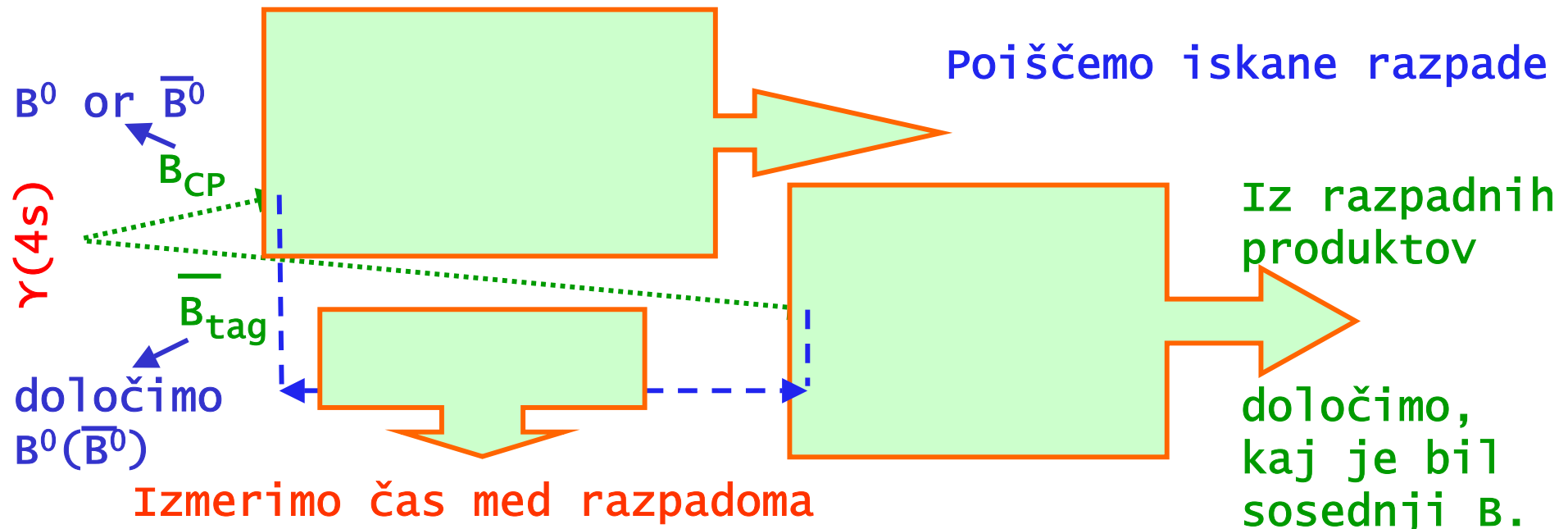
$J/\psi \rightarrow \mu^- \mu^+$  in  $K_S \rightarrow \pi^- \pi^+$

Izmeriti moramo, **kje** se je to zgodilo, in določiti ali je v  $J/\psi K_S$  razpadel  $B^0$  ali njegov anti-delec  $\bar{B}^0$  (=meritev okusa B).

---



# Kako merimo kršitev CP



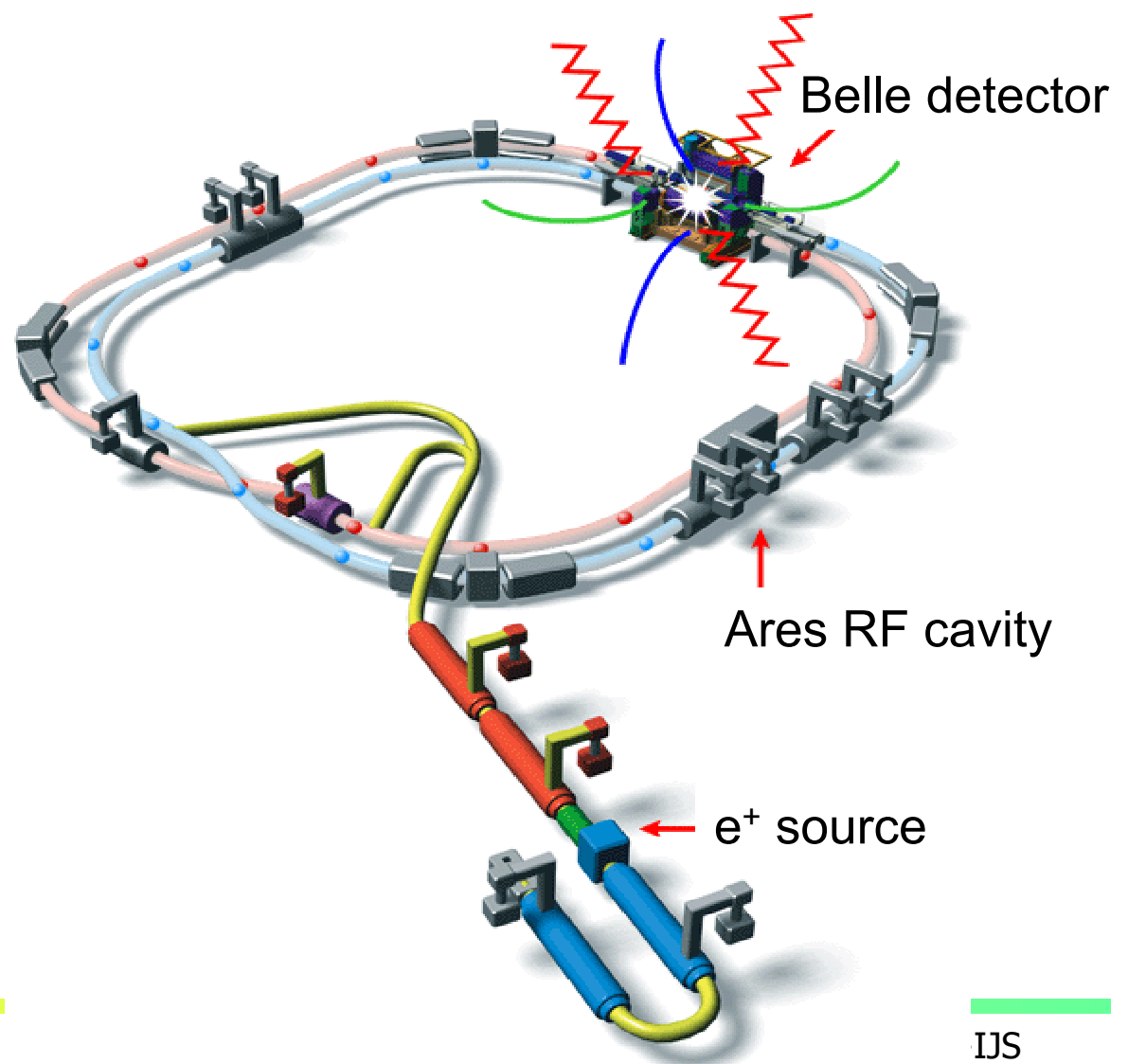


# Trkalnik KEK-B in detektor Belle v Tsukubi





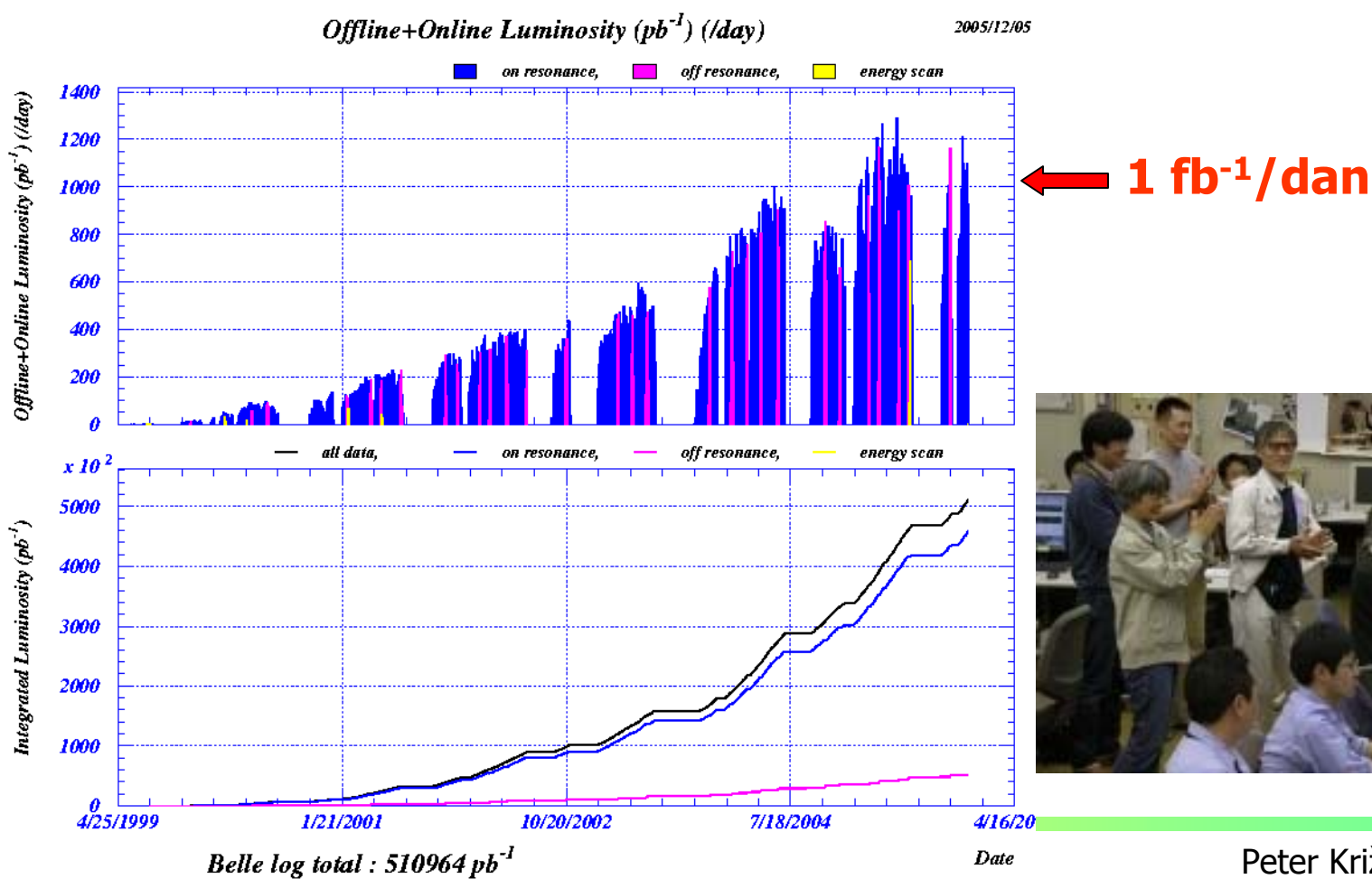
# Trkalnik KEK-B pospešuje elektrone in pozitrone do trka





# Mejnik v luminoznosti KEK-B: 500 fb<sup>-1</sup>=0.5 ab<sup>-1</sup>

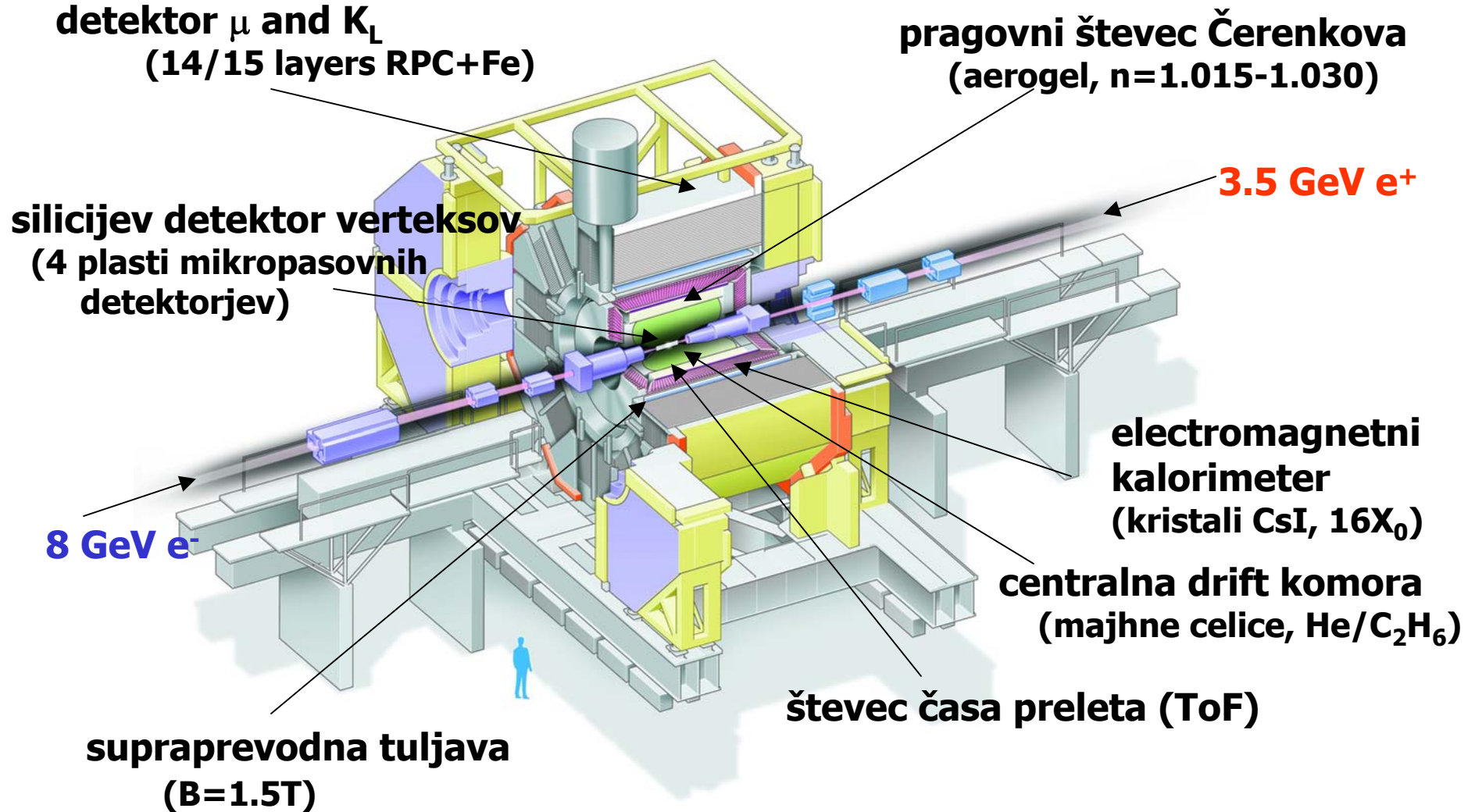
# Zbranih > 500 M parov BB!



Peter Križan, FMF+IJS



# Spektrometer Belle



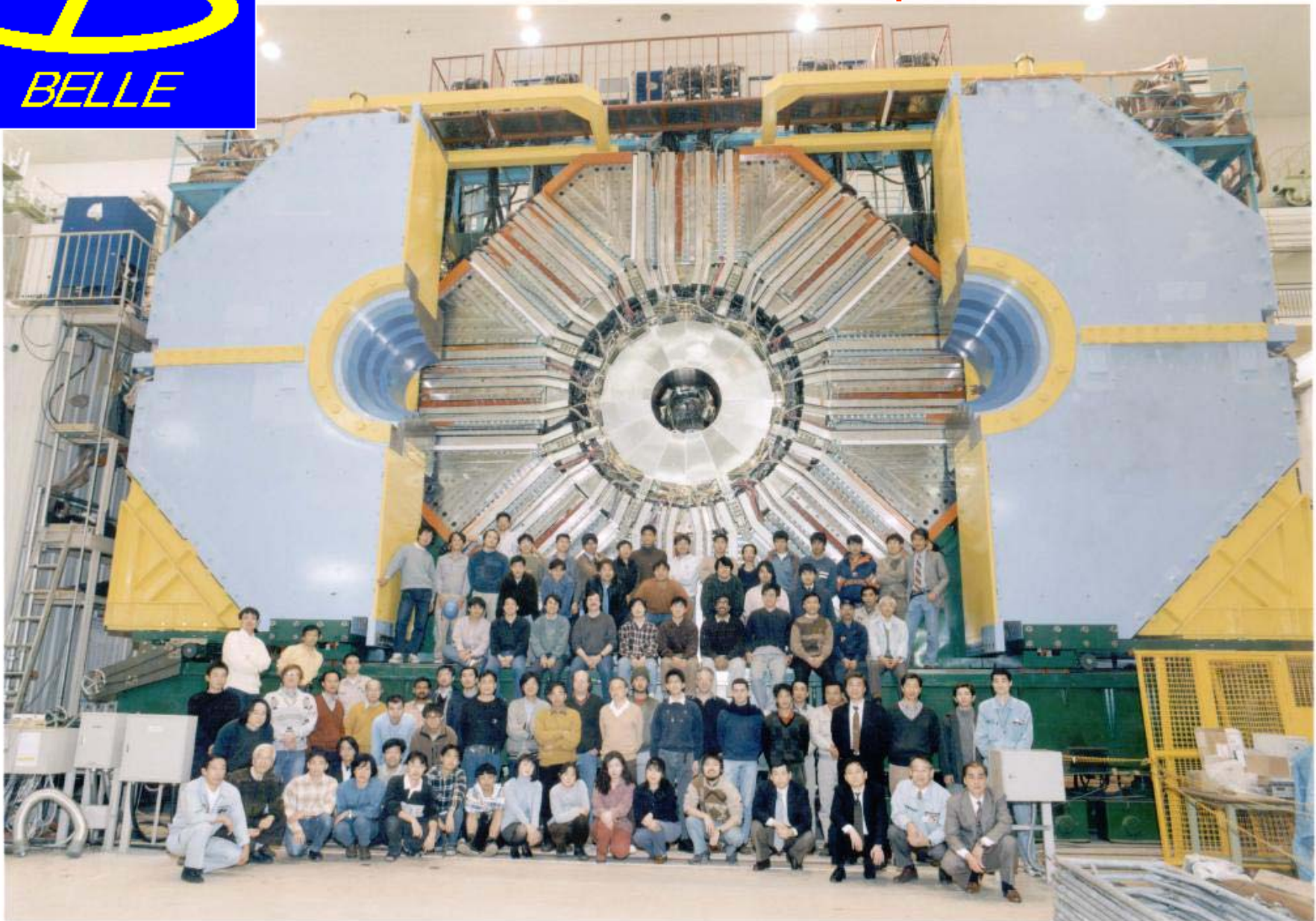
# Detektor verteksov

- Eden bistvenih elementov detektorja je detektor verteksa, točke, kjer je mezon B razpadel.
- Zelo občutljiv kos aparature iz  $300\mu\text{m}$  debelih silicijevih plošč z gosto nanešenimi elektrodami: natančnost meritve mesta preleta nabitega delca: **10  $\mu\text{m}$ !**





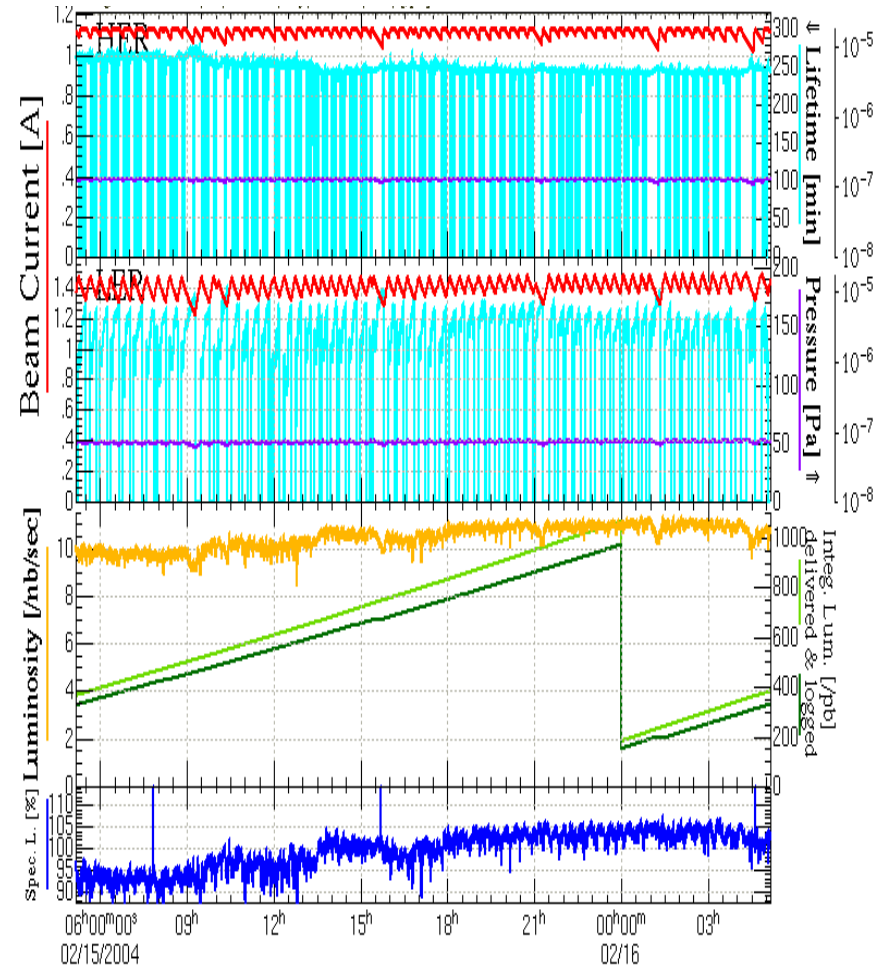
## Spektrometer Belle in del raziskovalne skupine





# S potrpežljivim merjenjem, dan in noč, nekaj let...

Kontrolna soba eksperimenta Belle:  
nadzor na vsemi komponentami  
detektorja, prenosom in  
shranjevanjem podatkov



V enem dnevu naberemo ~trikrat toliko podatkov kot v celotnem času obratovanja eksperimenta ARGUS...



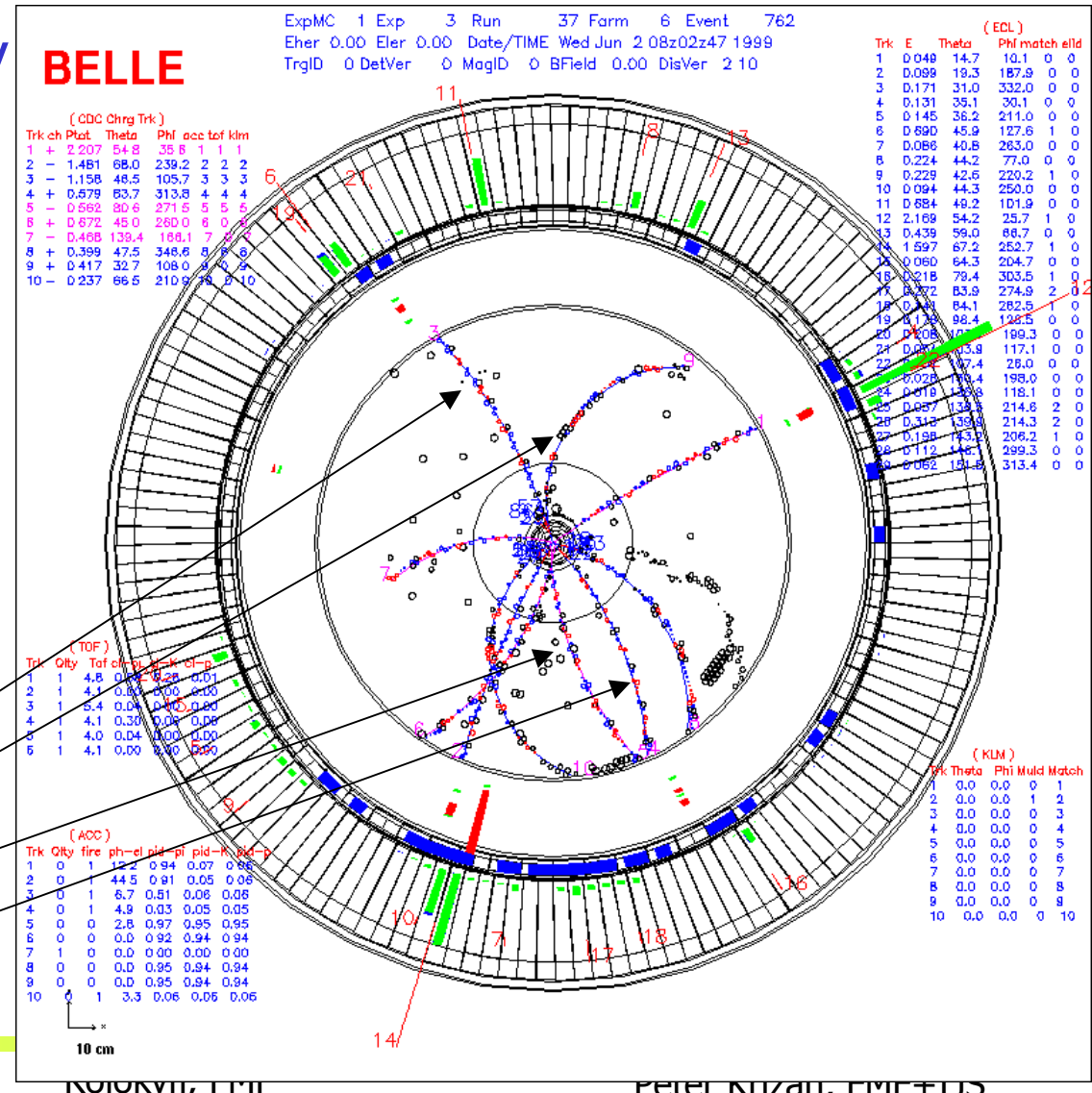
# Kaj izmerimo z detektorjem?

- sledi nabitih delcev v magnetnem polju (polmer kroga je odvisen od gibalne količine delca)
- koordinate točke, od koder sledi izhajajo
- dodatne podatke o identiteti delca

$B^0 \rightarrow K_S J/\psi$

$K_S \rightarrow \pi^- \pi^+$

$J/\psi \rightarrow \mu^- \mu^+$





# 2001, rezultat meritve: CP je kršena!

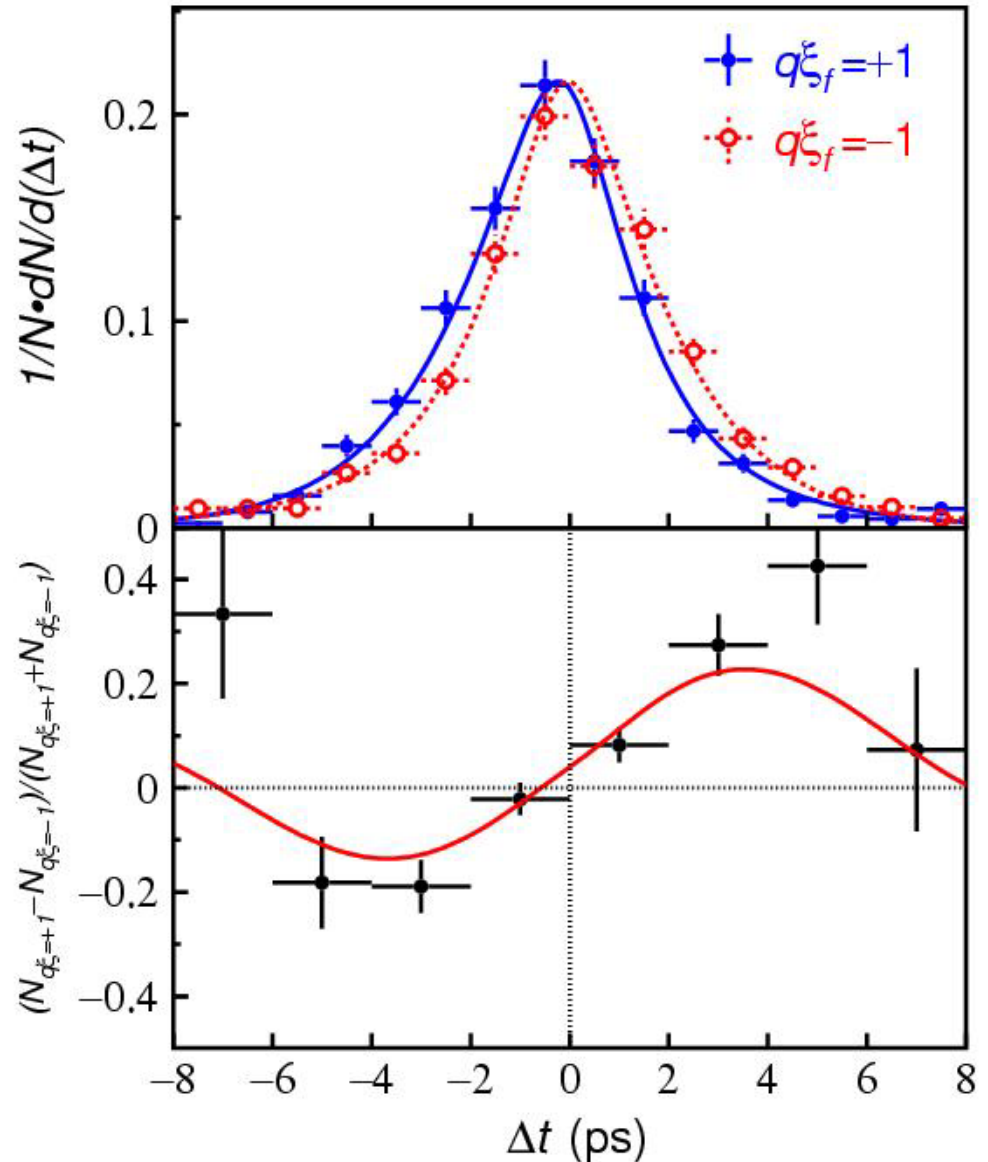
Razlika med delci in antidelci:

Modra: časovni potek razpada anti-B

Rdeča: isto za B

Razlika med obema porazdelitvama

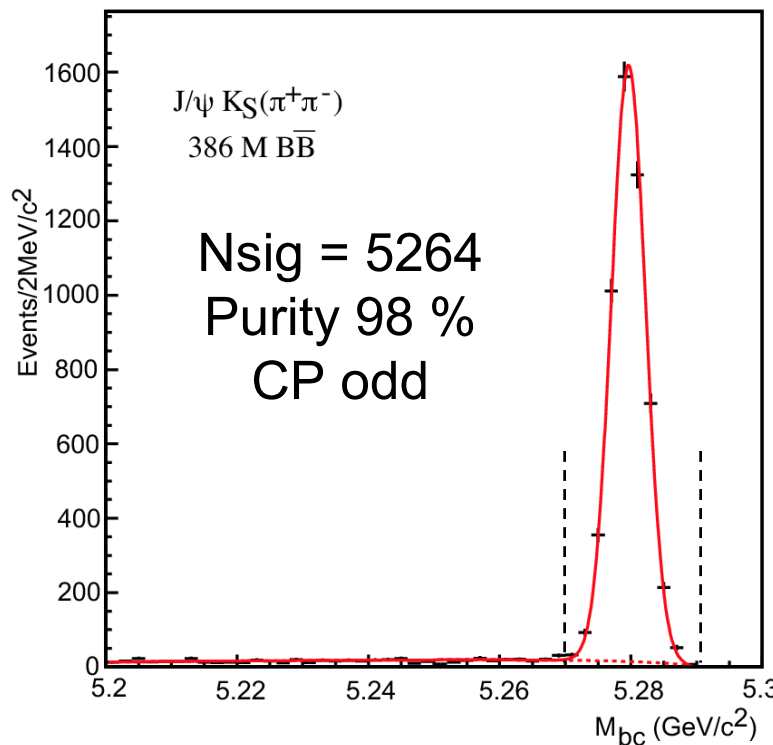
→objavi v PRL in PRD imata več kot 500 citatov!





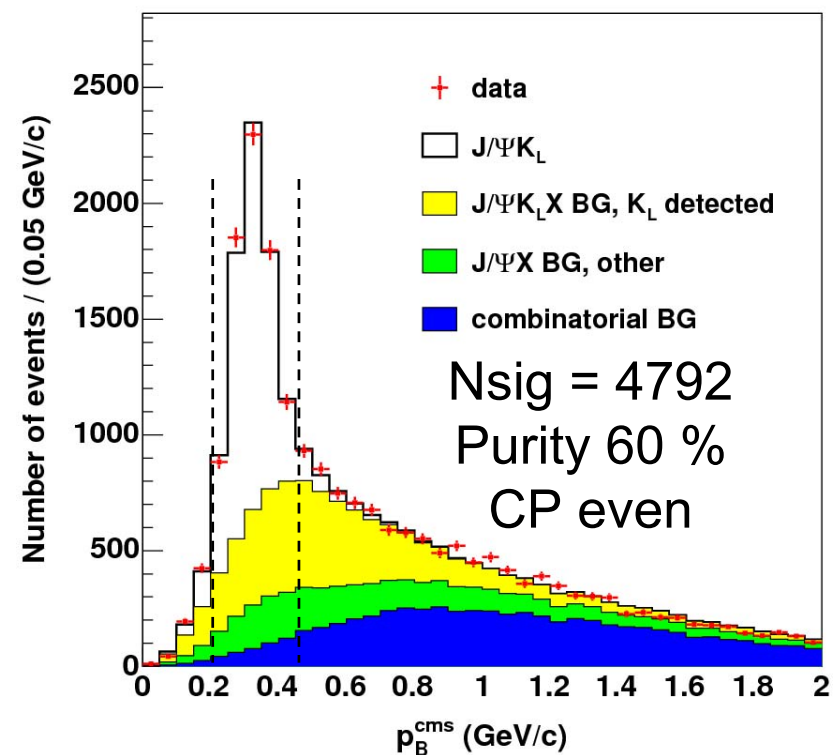
# 2005: $B^0 \rightarrow J/\psi \bar{K}^0$ with 386 M $B\bar{B}$ pairs

$B^0 \rightarrow J/\psi K_S^0$



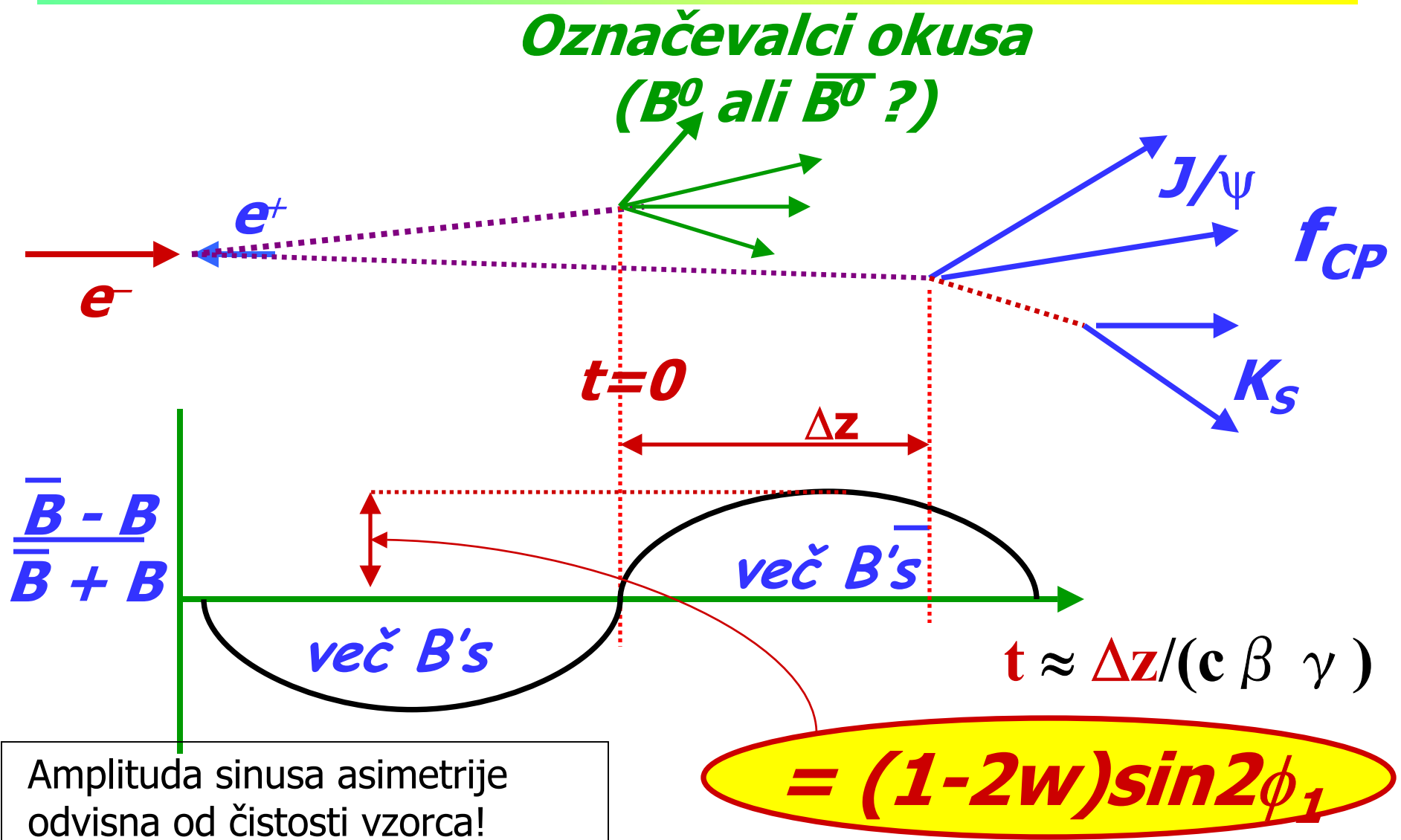
$$M_{bc} = \sqrt{E_{beam}^{*2} - P_{J/\psi K_S}^{*2}}$$

$B^0 \rightarrow J/\psi K_L^0$



$p_B^*$  (momentum in CM)

# Principle of CPV Measurement

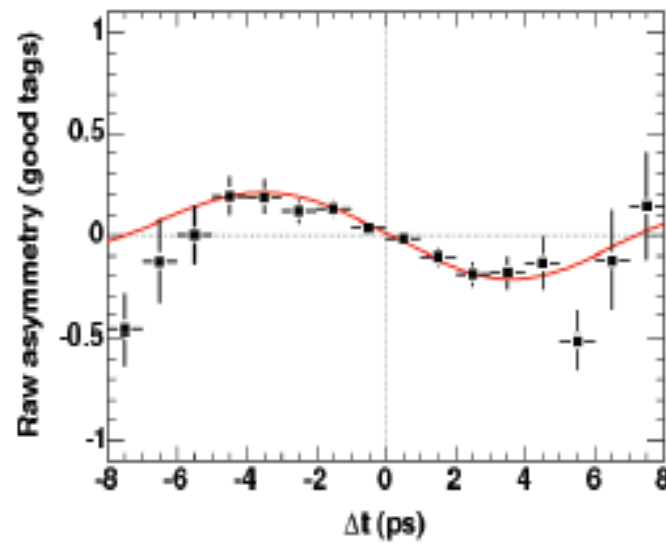
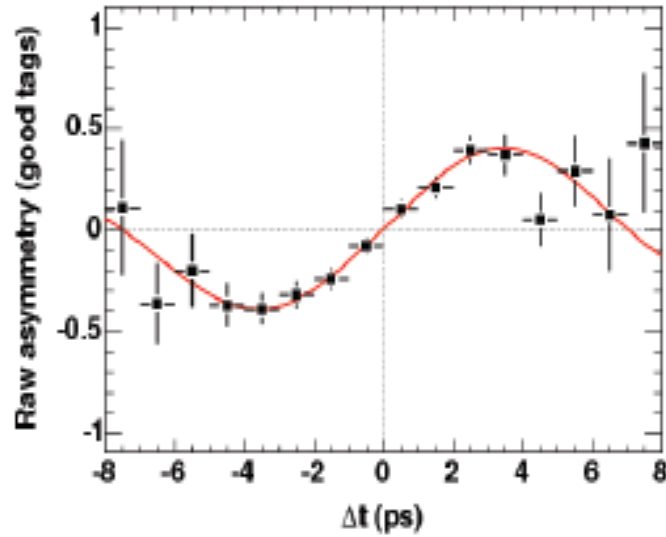
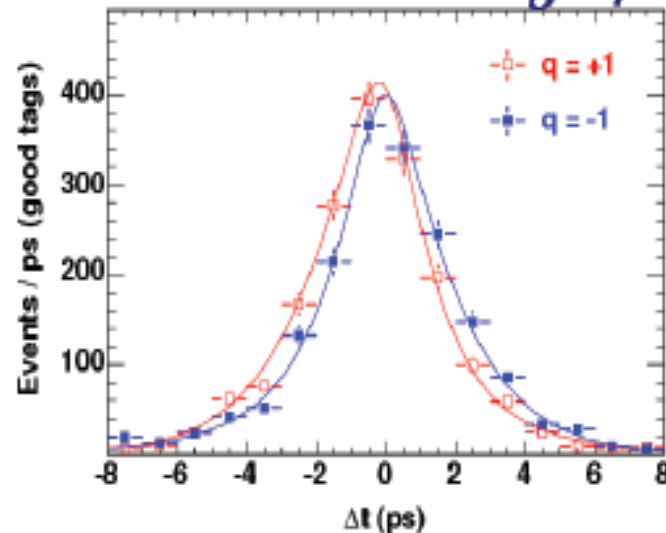
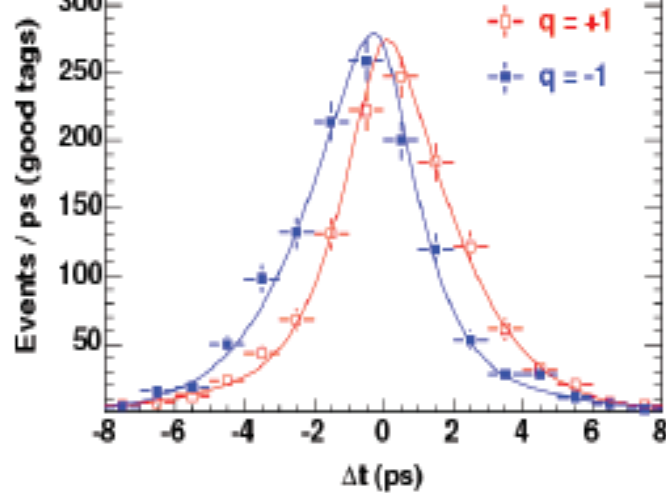




$J/\psi K_S$

Belle ( $386 \times 10^6 B\bar{B}$ )

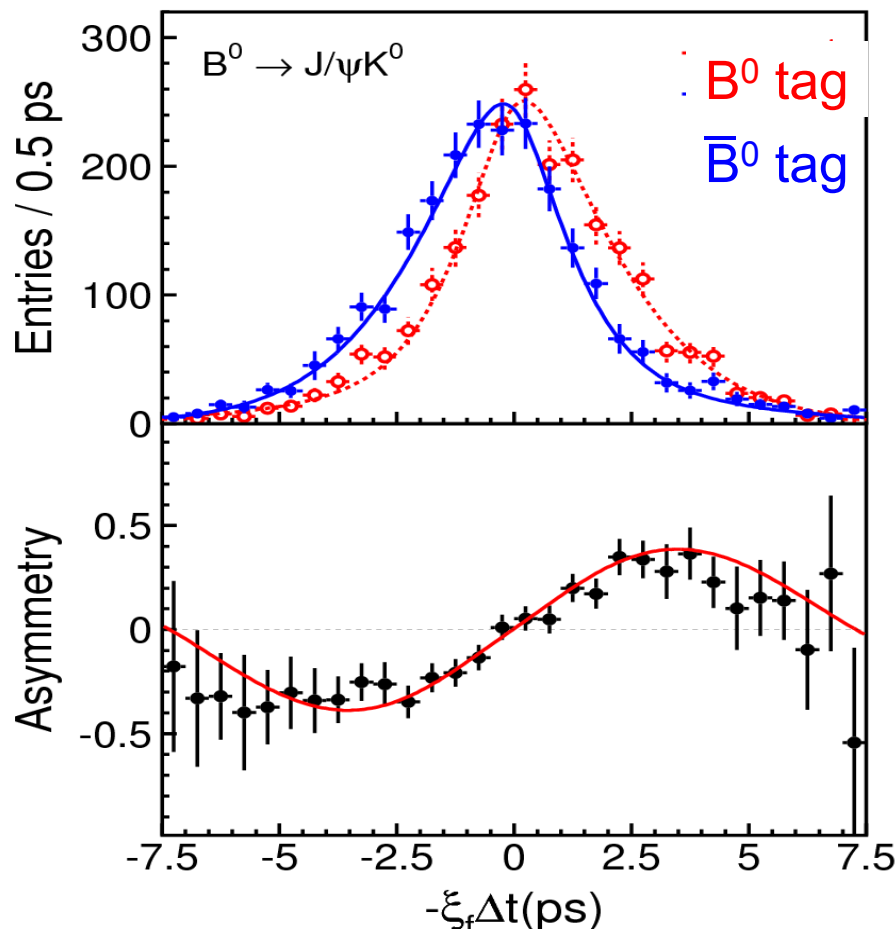
$J/\psi K_L$



# 2005: $B^0 \rightarrow J/\psi K^0$

$$\sin 2\phi_1 = 0.652 \pm 0.039 \text{ (stat)} \pm 0.020 \text{ (syst)}$$

$$C = 0.010 \pm 0.026 \text{ (stat)} \pm 0.036 \text{ (syst)}$$



$$a_f = S \sin(\Delta m t) + C \cos(\Delta m t)$$

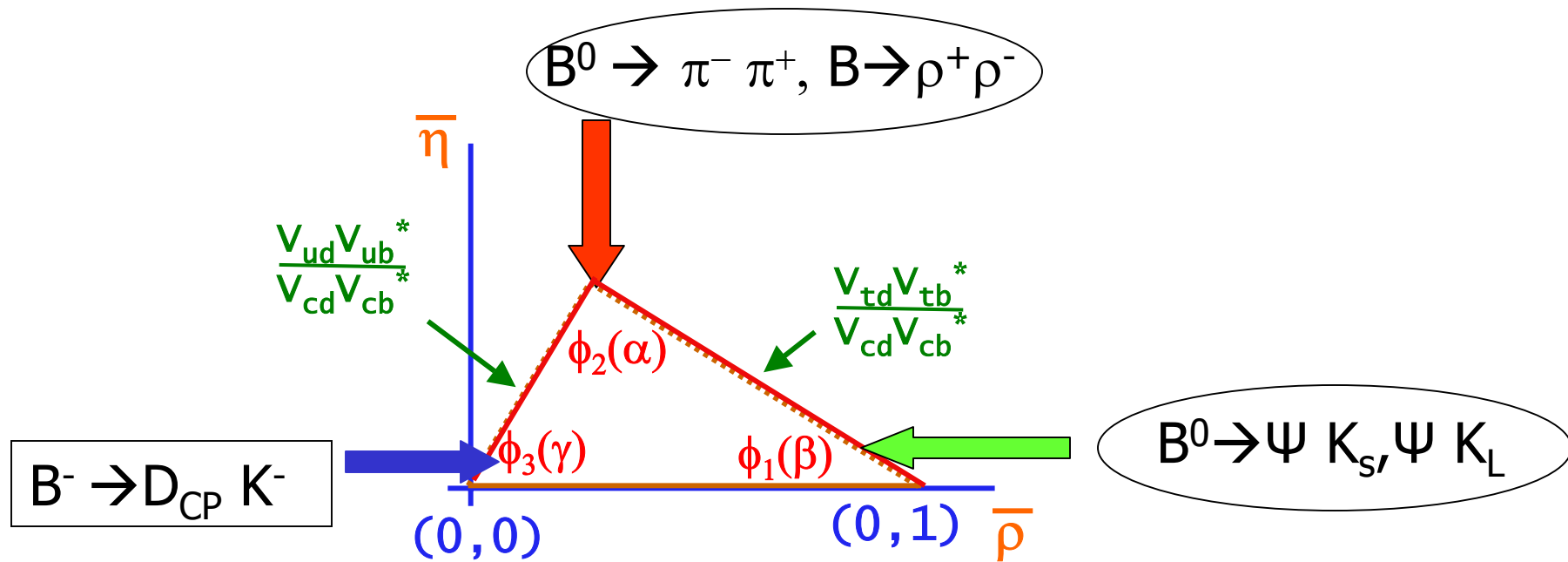
Sestavljen vzorec, razpadi

- $J/\psi K_S: N(\Delta t),$
- $J/\psi K_L: N(-\Delta t)$

2001: odkritje →

2005: precizija meritev!

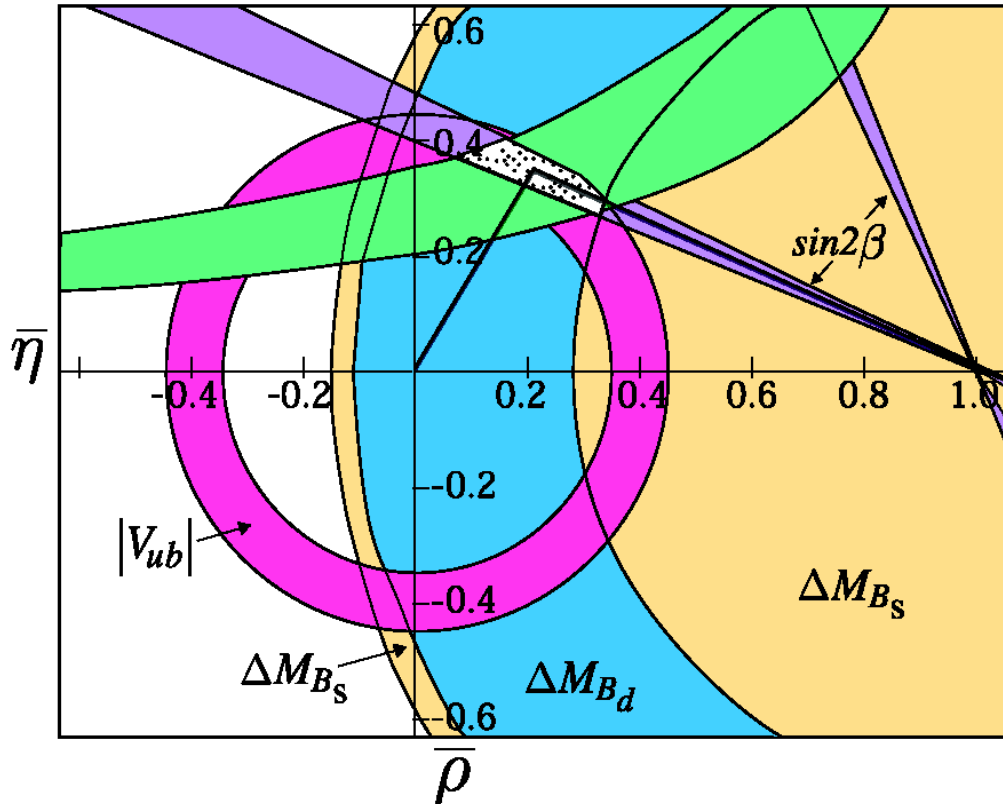
# Trije koti: $(\phi_1, \phi_2, \phi_3)$ ali $(\beta, \alpha, \gamma)$



Velika vprašanja: *Ali so meritve kotov konsistentne z meritvami stranic trikotnika? Ali so meritve kotov konsistentne, če jih merimo v procesih, ki potekajo v drevesnem redu ali preko zank?*

# Meritve unitarnega trikotnika

*Ali so meritve kotov konsistentne z meritvami stranic trikotnika?*



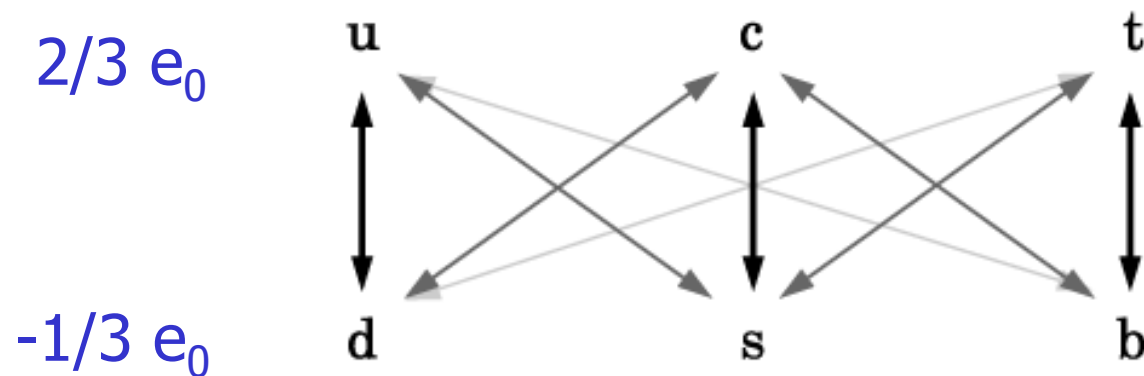
Konsistentna slika!

*Ali so meritve kotov konsistentne, če jih merimo v procesih, ki potekajo v drevesnem redu ali preko zank?*



# Prehodi med kvarki brez spremembe naboja

V SM dovoljeni le prehodi med kvarki, pri katerih se spremeni naboj ( $2/3 \leftrightarrow -1/3$ ).

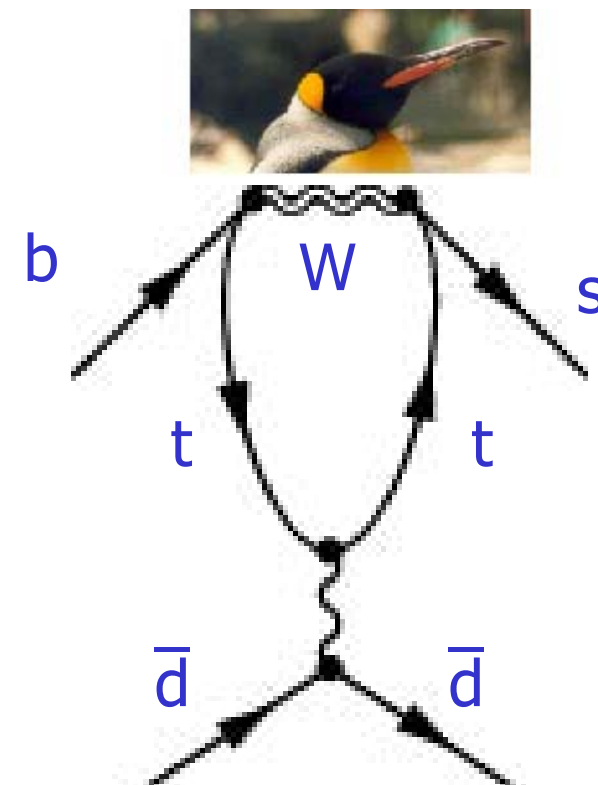


Prehodi med kvarki, pri katerih se ne spremeni naboj ( $-1/3 \rightarrow -1/3$ ), recimo  $b \rightarrow s$ ,  $b \rightarrow d$ , so v SM možni le v višjem redu, preko zank.



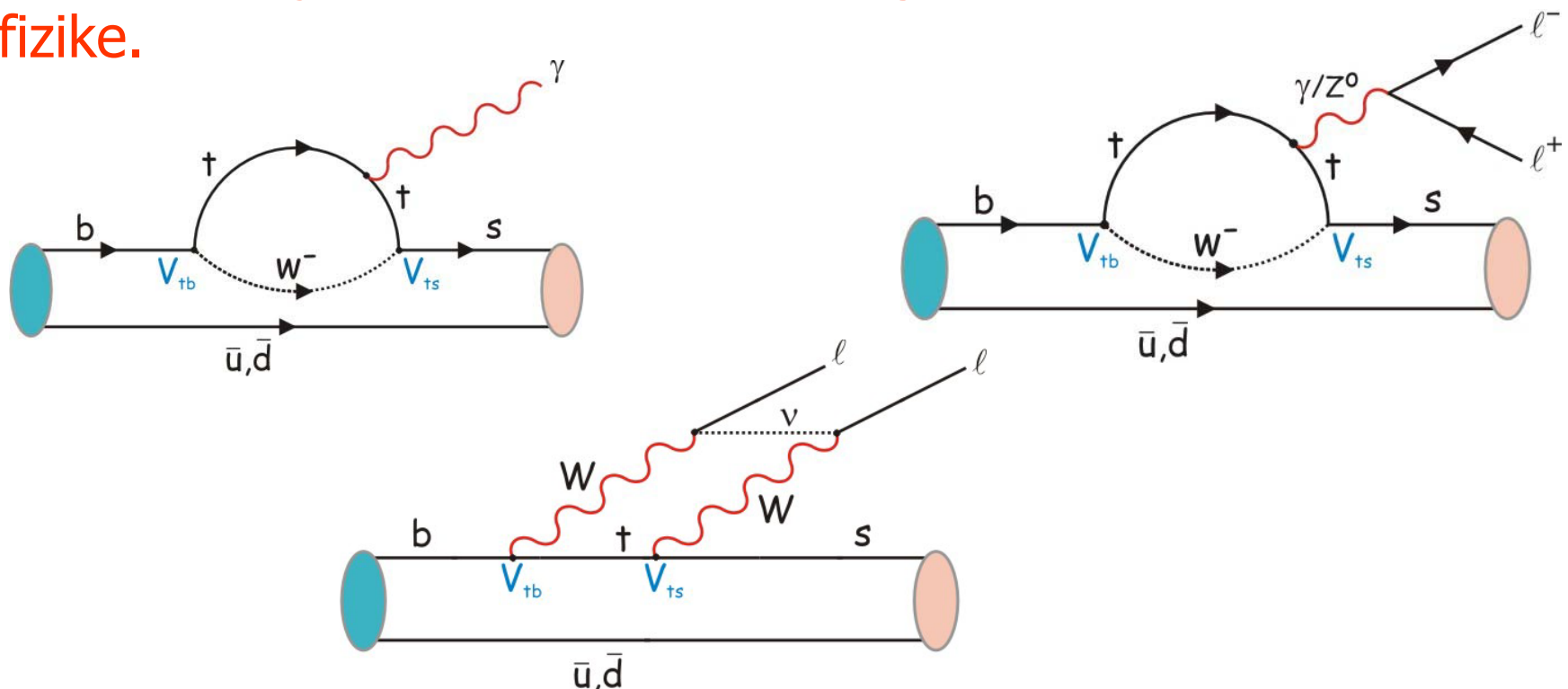
# Pingvinski diagrami

Na primer: prehod  $b \rightarrow s$



# Zakaj so zanimivi prehodi med kvarki brez spremembe naboja?

Ker so taki procesi (=Flavour changing neutral current - FCNC) prepovedani v drevesnem redu, potekajo le preko diagramov višjega reda z zankami. So idealni za iskanje fizikalnih pojavov izven Standardnega modela, t.i. Nove fizike.



Na primer v procesu:

$$B^0 \rightarrow \eta' K^0$$

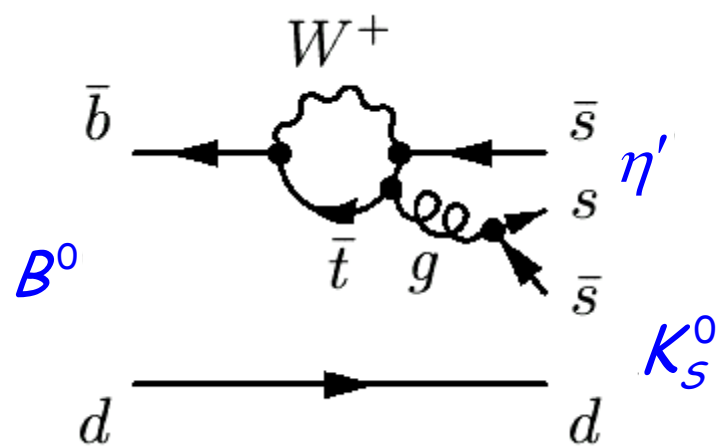
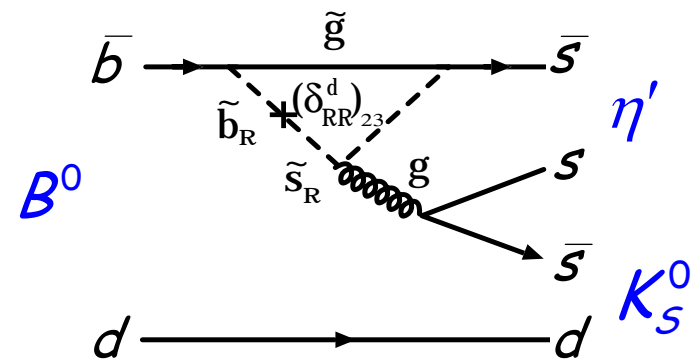


Diagram s supersimetričnimi delci v zanki

Kako bi lahko nova fizika prispevala k prehodu  $b \rightarrow s$ ?

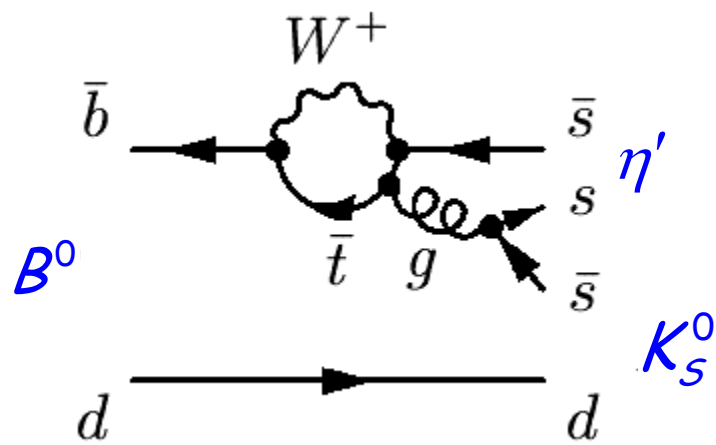
Običajen pingvinski diagram s kvarkom t v zanki



# Iskanje odstopanja od Standardnega modela pri kršitvi CP v prehodih $b \rightarrow s$

Napoved SM za asimetrijo pri  
razpadu:  $B^0 \rightarrow \eta' K^0$

$$a_f = -\text{Im}(\lambda_f) \sin(\Delta m t)$$

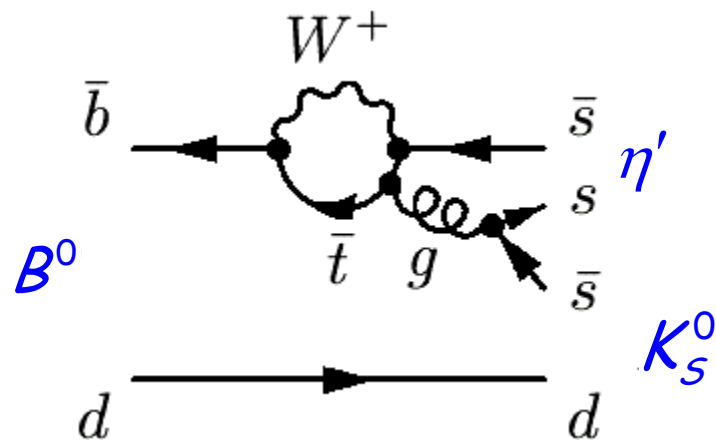


$$\text{Im}(\lambda_f) = \xi_f \sin 2\phi_1$$

Enaka vrednost kot pri  
razpadu  $B^0 \rightarrow J/\psi K_S$ !

To je seveda res, če v zanki ne nastopajo novi delci.  
V splošnem je ima parameter  $\sin 2\phi_1$  lahko drugačno vrednost,  
označimo jo s  $\sin 2\phi_1^{\text{eff}}$

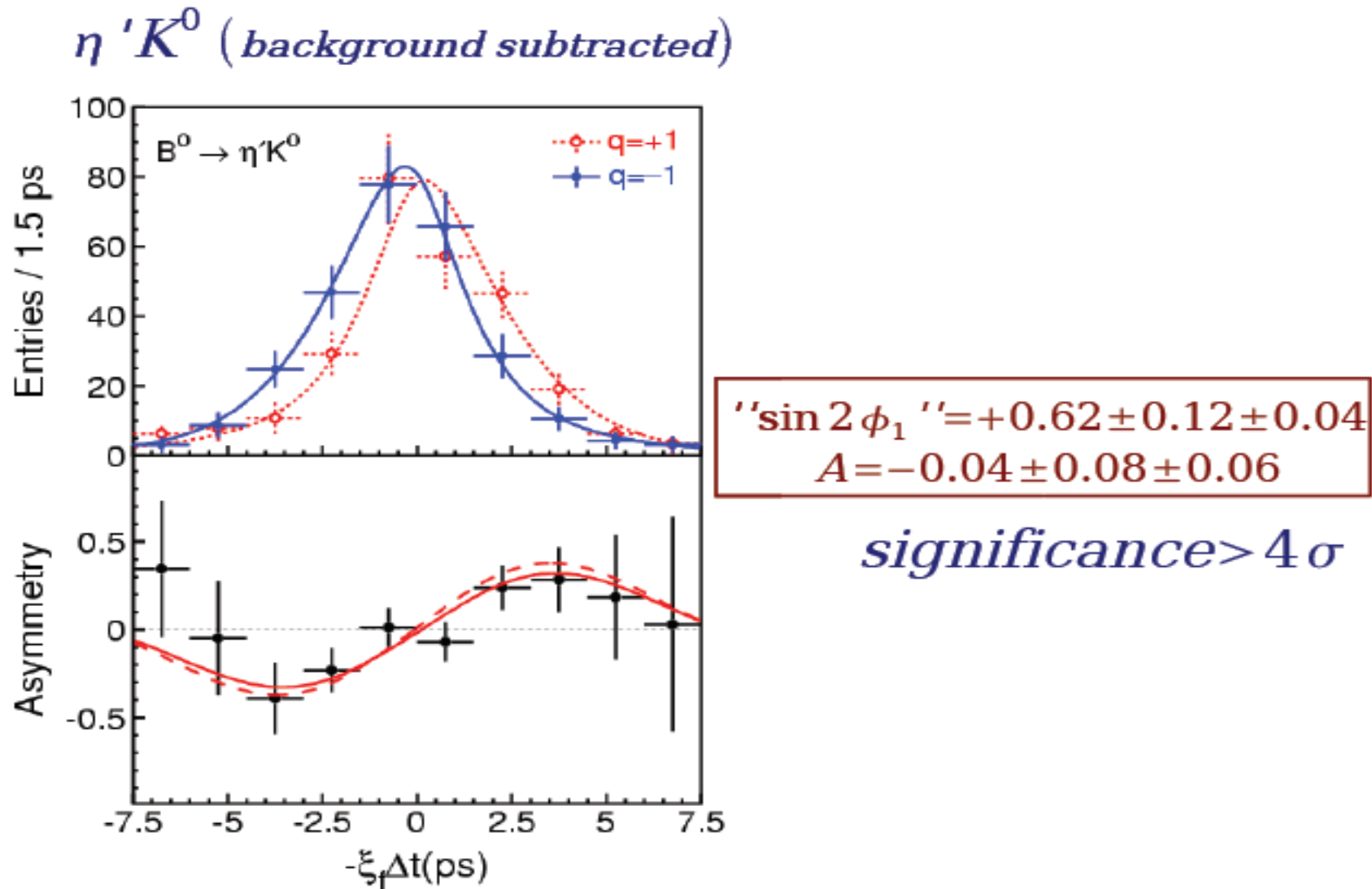
# Iskanje odstopanja od Standardnega modela pri kršitvi CP v prehodih $b \rightarrow s$



S primerjavo  $\sin 2\phi_1^{\text{eff}}$  z vrednostjo  $\sin 2\phi_1$  (iz razpada  $B^0 \rightarrow J/\psi K_S$ ) poskušamo podobno kot pri ARGUSovi meritvi mešanja: s precizno meritvijo pri nizkih energijah skušamo odkriti pojave, ki so pomembni na bistveno višji energijski skali.

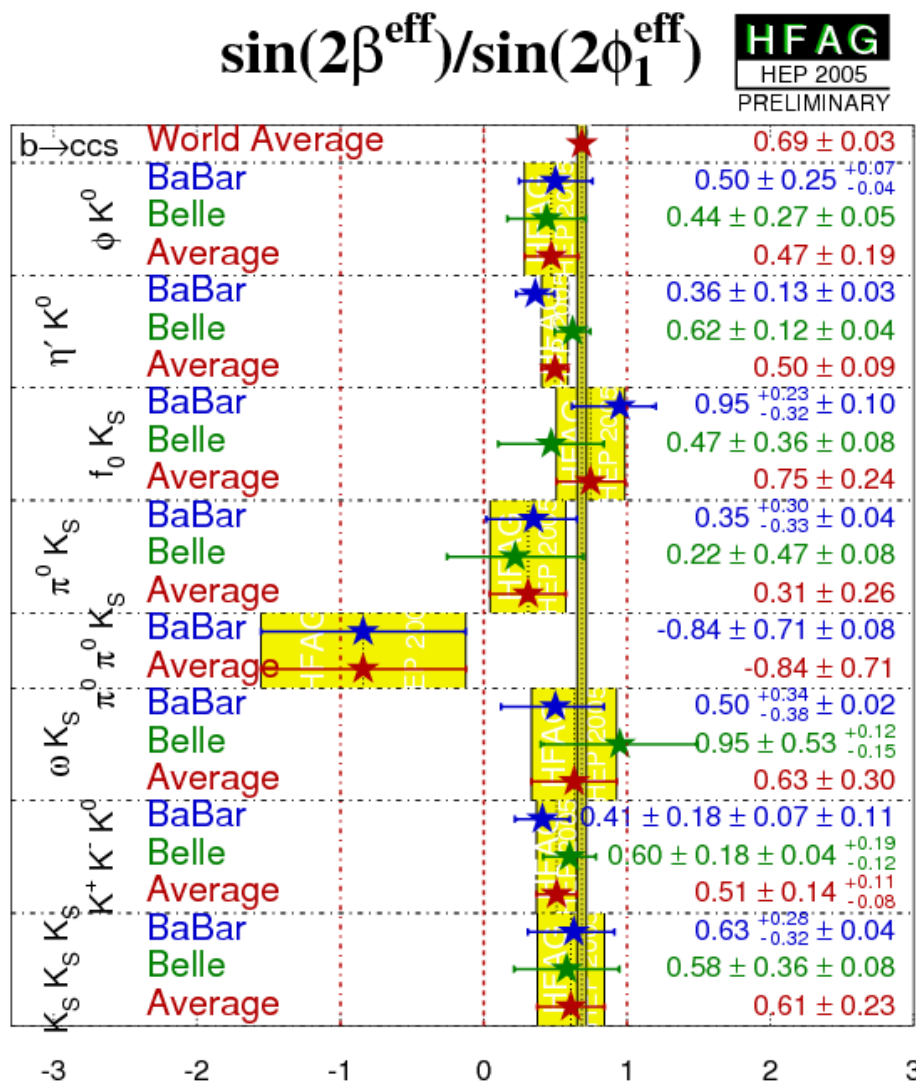


# Meritev kršitve CP v procesih $b \rightarrow s$





# Premerili smo kopico razpadov tipa $b \rightarrow s$



Belle data: hep-ex/0507037

## Razpadi tipa $b \rightarrow s$

$\phi K_S, \phi K_L$

$\eta K_S, \eta K_L$

$\omega K_S, f_0 K_S$

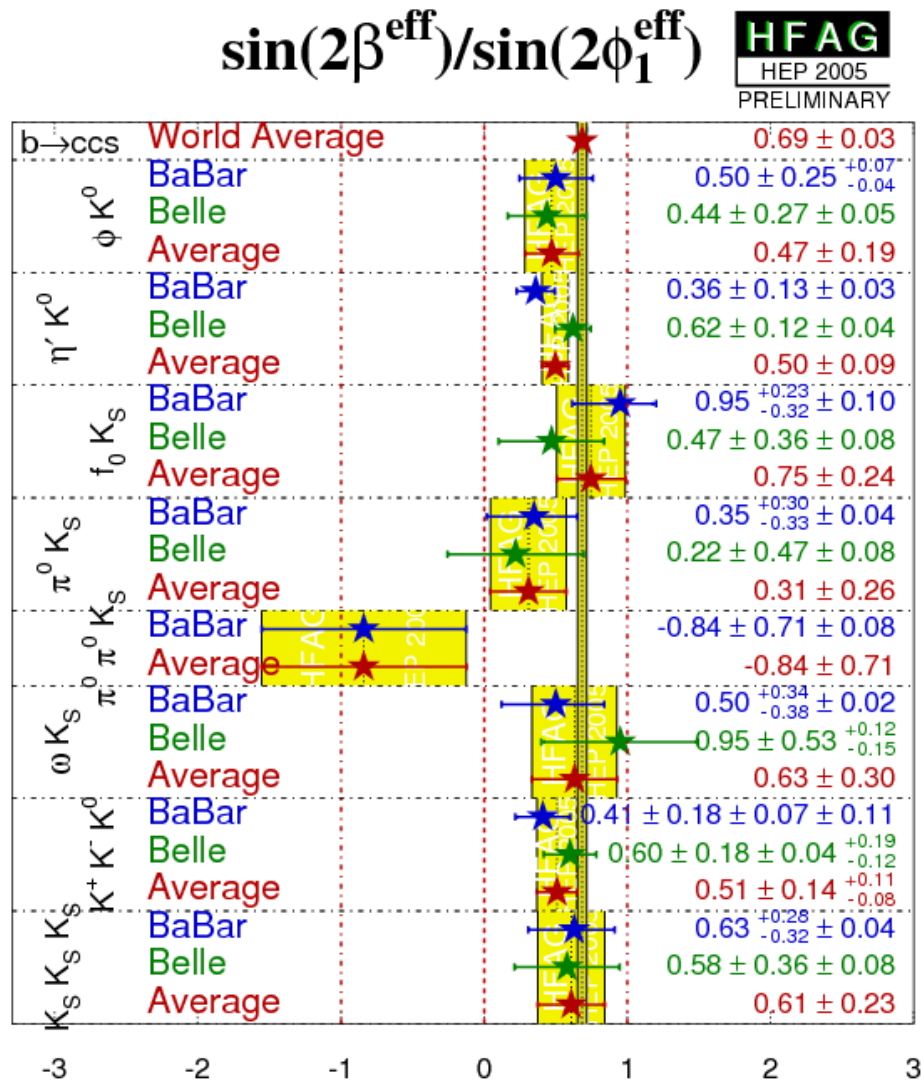
$K_S K_S K_S, K_S K^+ K^-$

$\pi^0 K_S, \pi^0 \pi^0 K_S$

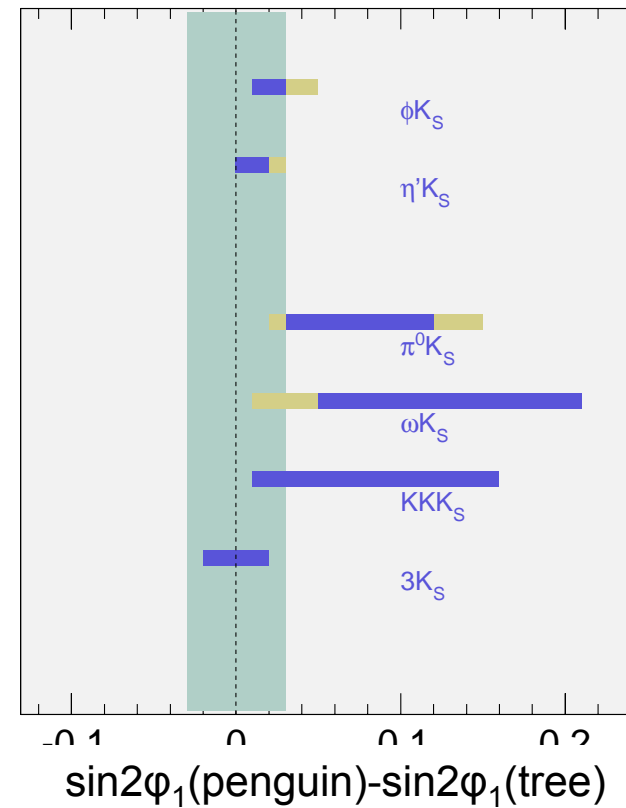
→ Večina sistematsko nižje  
kot vrednost  $\sin 2\phi_1$  iz  
meritev razpada  $B \rightarrow J/\psi K^0$



# Primerjava s teoretskimi napovedmi za $b \rightarrow s$



Teoretski popravki (v okviru SM) k vrednosti  $\sin 2\phi_1$  kažejo v drugo smer



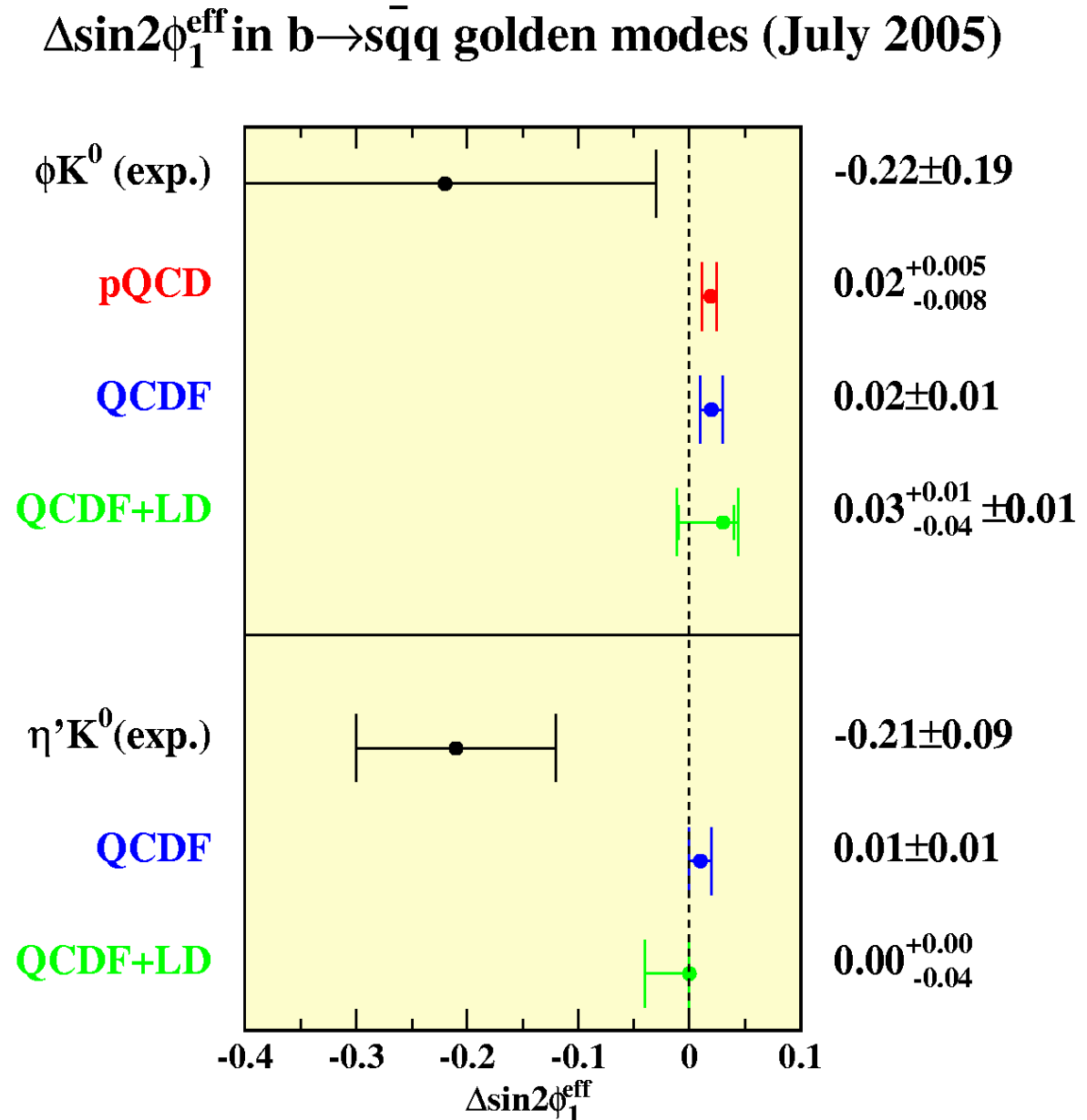
[Beneke, hep-ph/0505075]

[Cheng, Chua, Soni, hep-ph/0506268]



# Ali tu diši po Novi fiziki?

Teoretski popravki v SM  
so majhni in kažejo v  
obratno smer kot  
izmerjena odstopanja.



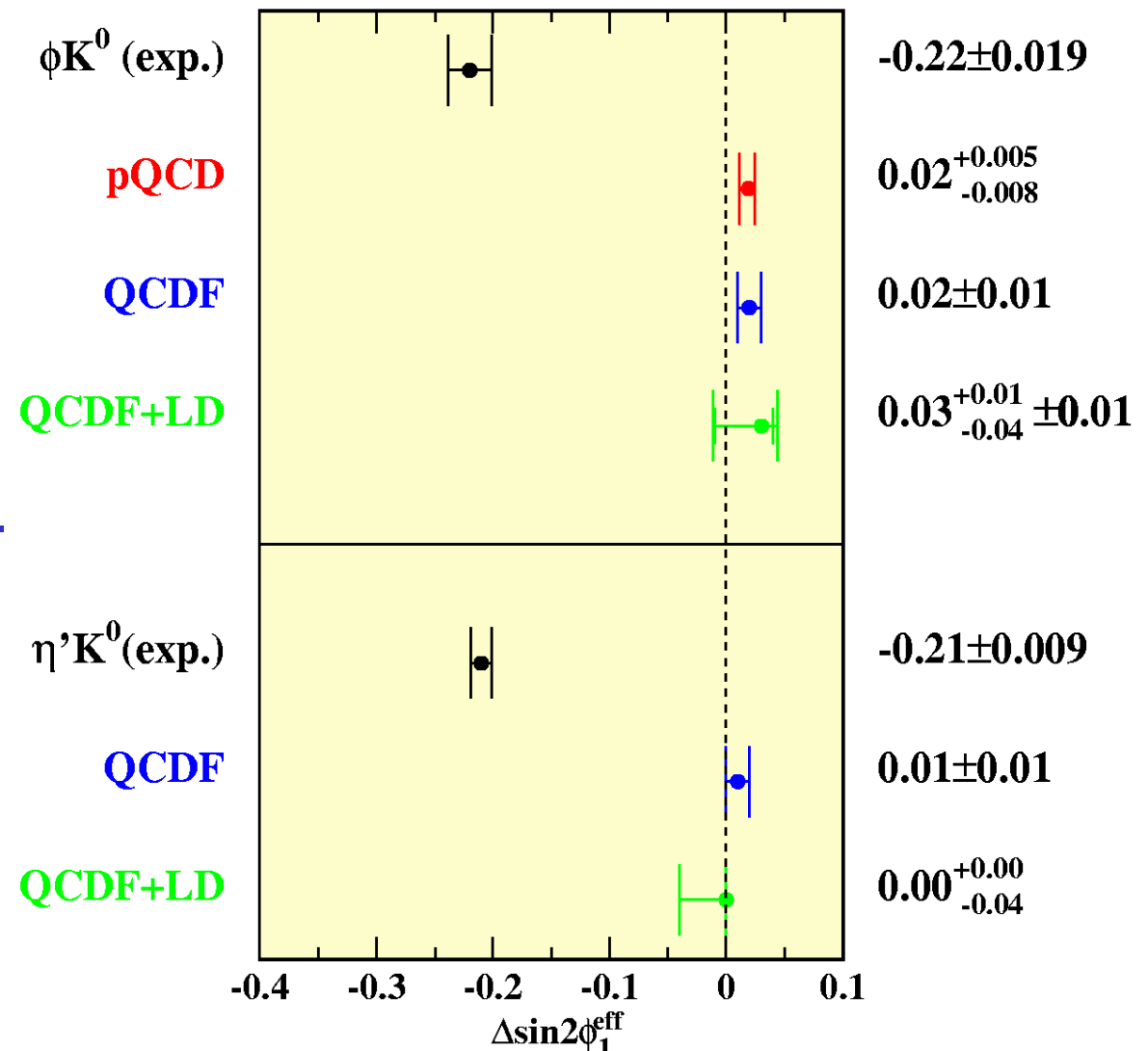
Toda: Zaradi majhnosti  
vzorcev je eksperimentalna  
statistična napaka velika!



# Kaj pa s 100x več podatki?

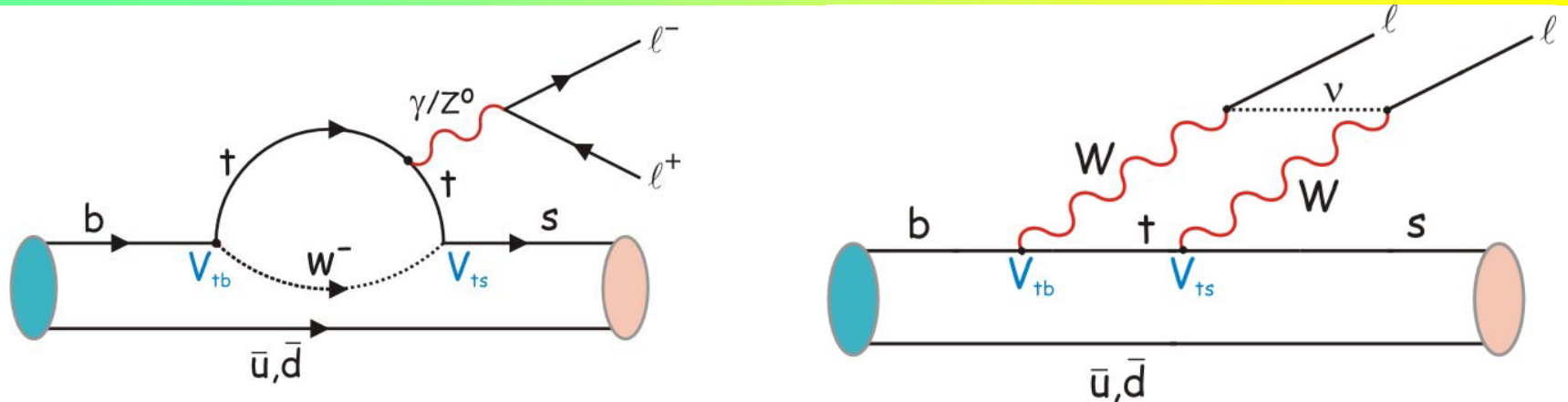
Projection for Super B Factory ( $50\text{ab}^{-1}$ )

Naslednja generacija  
tovarne mezonov B,  
Super B, bo lahko  
odgovorila na to vrašanje.





# Še en proces tipa FCNC: $B \rightarrow K^* l^+ l^-$



Prehod  $b \rightarrow s l^+ l^-$  smo prvi opazovali v razpadu  $B \rightarrow K l^+ l^-$  (2001)

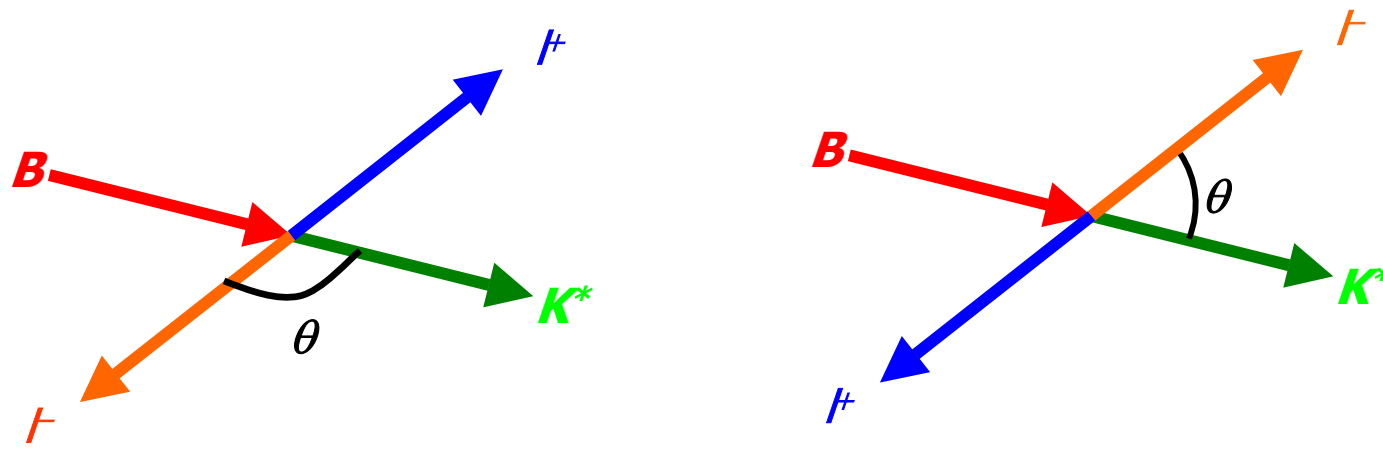
Dva različna tipa zank, pingvin in škatla: dodatno okno za iskanje fizike izven SM

$$\frac{d\Gamma(b \rightarrow s \ell^+ \ell^-)}{d\hat{s}} = \left( \frac{\alpha_{em}}{4\pi} \right)^2 \frac{G_F^2 m_b^5 |V_{ts}^* V_{tb}|^2}{48\pi^3} (1 - \hat{s})^2 \times \left[ (1 + 2\hat{s}) \left( |C_9^{\text{eff}}|^2 + |C_{10}^{\text{eff}}|^2 \right) + 4 \left( 1 + \frac{2}{\hat{s}} \right) |C_7^{\text{eff}}|^2 + 12 \text{Re}(C_7^{\text{eff}} C_9^{\text{eff}*}) \right]$$

$C_i$ : Wilsonovi koeficienti

## Posebno občutljiva: $A_{FB}$ , asimetrija naprej-nazaj v $K^* \bar{I}^+ I^-$

$$A_{FB}(q^2) = \frac{\int_0^1 \frac{d^2\Gamma}{dq^2 d\cos\theta} d\cos\theta - \int_{-1}^0 \frac{d^2\Gamma}{dq^2 d\cos\theta} d\cos\theta}{\int_0^1 \frac{d^2\Gamma}{dq^2 d\cos\theta} d\cos\theta + \int_{-1}^0 \frac{d^2\Gamma}{dq^2 d\cos\theta} d\cos\theta}.$$



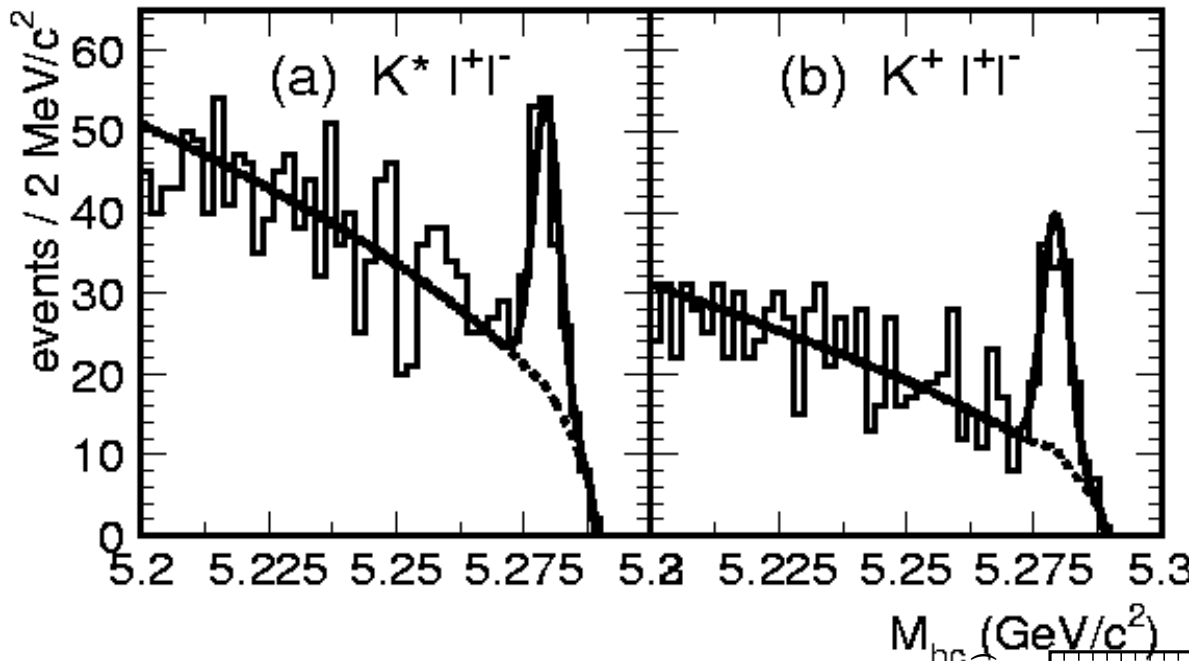
Končno stanje tipa 'nazaj'

Končno stanje tipa 'naprej'

Do asimetrije pride zaradi interference prispevka virtualnih  $\gamma^*$  in  $Z^*$  pri razpadu  $B \rightarrow K^* \bar{l} l$ , podobno kot pri sipanju  $e^+ e^- \rightarrow \mu^+ \mu^-$



## 2005: Vzorec za meritev $A_{FB}(B \rightarrow K^* ll)(q^2)$



hep-ex/0508009

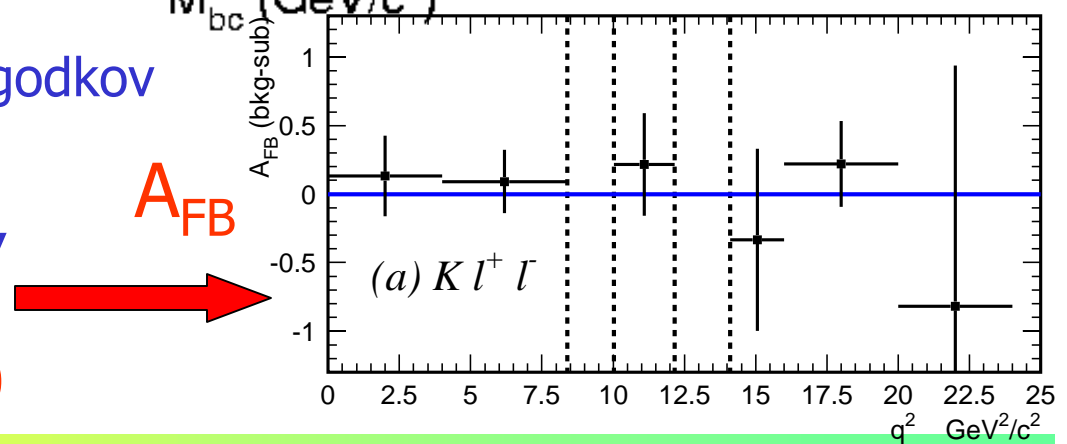
$q^2$ : invariantna  
masa obeh leptonov

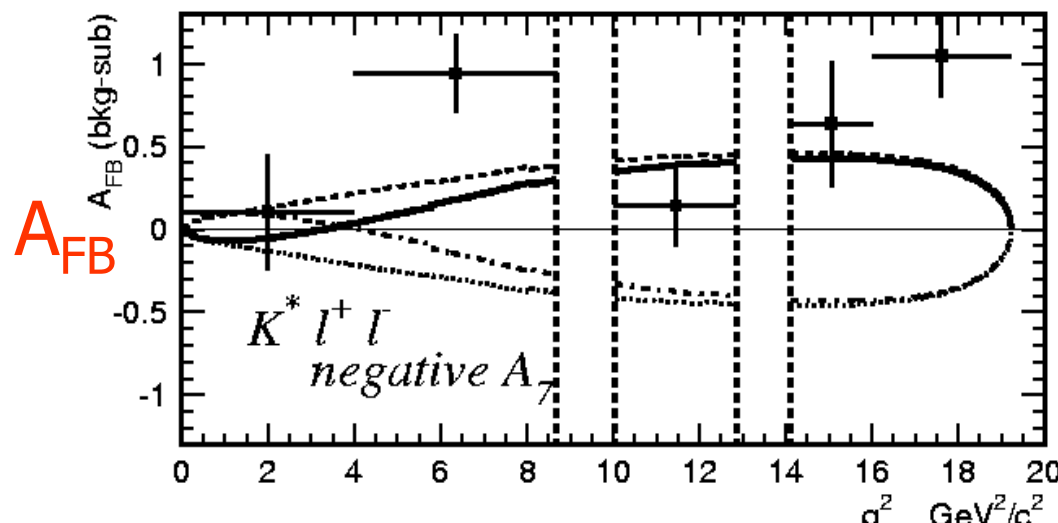
Vzorec  $B \rightarrow K^* ll$ :  $113 \pm 13$  dogodkov

$B \rightarrow K ll$ : kontrolni vzorec,  
 $96 \pm 12$  dogodkov

Konsistentno z  $A_{FB} = 0$

$A_{FB}$



Rezultat meritve  $A_{FB}(B \rightarrow K^* l^- l^+)(q^2)$ 

Polna krivulja: napoved SM

Integrirana asimetrija FB

$$A_{FB}(B \rightarrow K^* l^- l^+) = \\ 0.50 \pm 0.12 \pm 0.02; (3.4\sigma)$$

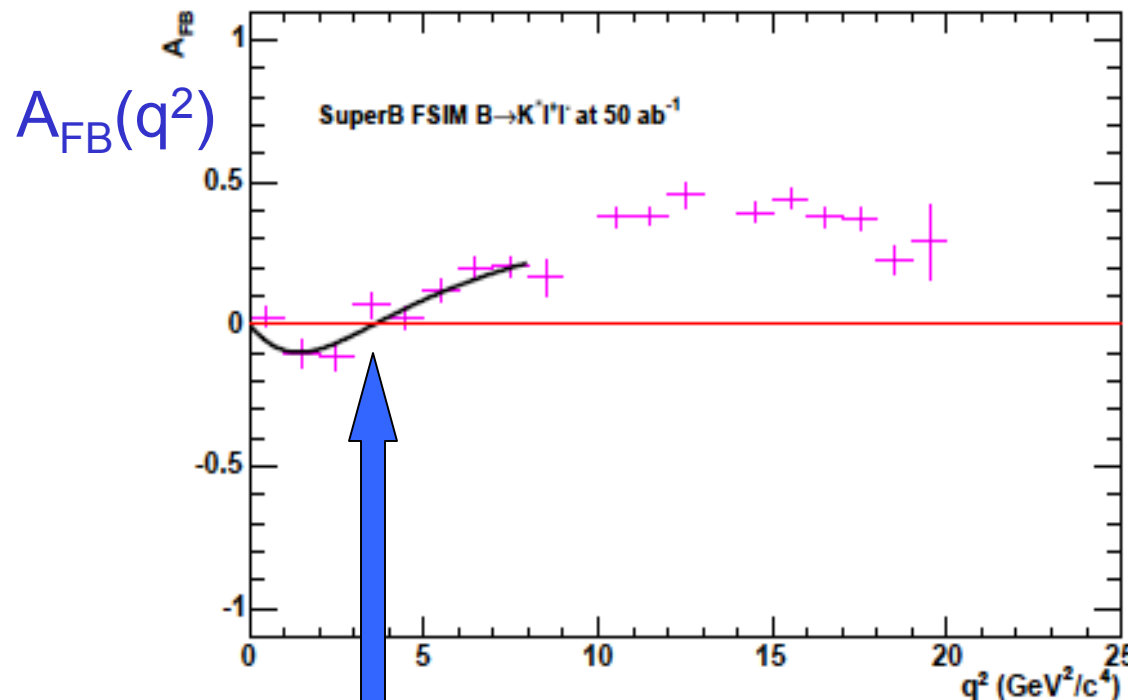
kontrolni vzorec:

$$A_{FB}(B \rightarrow K^+ l^- l^+) = \\ 0.10 \pm 0.14 \pm 0.01$$

Izmerjena integrirana  $A_{FB}$  izključuje nekatere radikalne modele za novo fiziko z napačnimi predznaki in velikostimi Wilsonovih koeficientov  $C_9$  in  $C_{10}$

## $A_{FB}(B \rightarrow K^* l^+ l^-)[q^2]$ s Super B

S  $50 \text{ ab}^{-1}$  integrirane luminoznosti, 100 milijard mezonov B  
- simuliran odziv detektorja



Zelo natačno bomo lahko določili položaj točke prehoda čez  
 $A_{FB}=0$ . →Pomembno omejimo parametre nove fizike.



## Fundamentalna vprašanja fizike okusov

---

Ali obstajajo izvori kršitve CP izven SM ?

Eksperimenti: meritev CP v  $b \rightarrow s$ , primerjava meritev kotov

Ali obstajajo operatorji s kvarki, ki jih pojača nova fizika?

Eksperimenti :  $A_{FB}(B \rightarrow K^* l l)$ , verjetnost za  $B \rightarrow K \pi$  in asimetrije

Ali obstajajo desnoročni tokovi?

Eksperimenti: meritev CP v  $b \rightarrow s \gamma$

Ali obstajajo novi nevtralni tokovi, ki spreminjajo okus?

Eksperimenti:  $b \rightarrow s \nu \bar{\nu}$  bar, mešanje D-anti-D,  $\tau \rightarrow \mu \gamma$

Na vsa ta vprašanja bomo lahko odgovorili s Super B tovarno.

---

# Motivacija za Super B

- Standard Model očitno ni dokončna teorija.

- končna  $m_\nu$
- gravitacija



- Če bo LHC našel zname za novo fiziko na skali nekaj TeV,
  - bo potrebno raziskati njenou okusno strukturo. Super B je najboljše orodje za to.

## Primerjava s kvarkom t

Prva ocena mase: mešanje BB

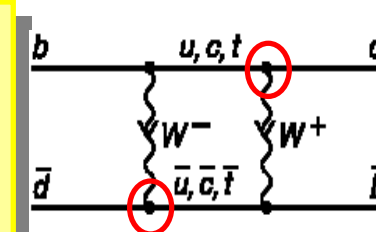
Direktna produkcija, mass, širina

Izvendiagonalne sklopite, faze

→ ARGUS

→ CDF/D0

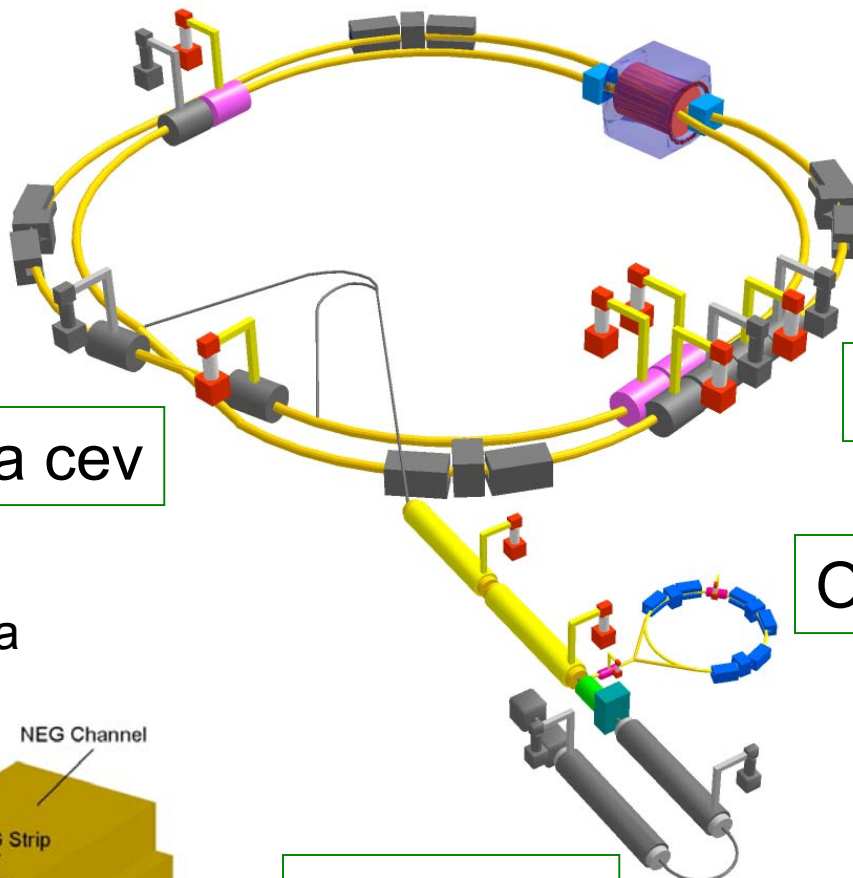
→ BaBar/Belle



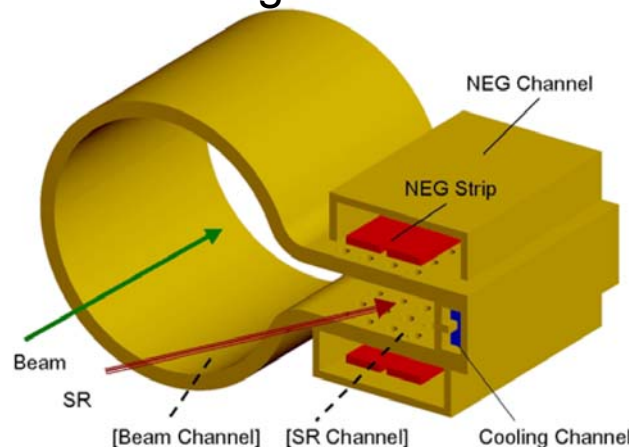
$$V_{CKM} = \begin{pmatrix} V_{ud} & V_{us} & V_{ub} \\ V_{cd} & V_{cs} & V_{cb} \\ V_{td} & V_{ts} & V_{tb} \end{pmatrix}$$

- Ce bo LHC našel samo Higgsov bozon, kot ga predvideva SM
  - bo iskanje odstopanj od SM v fiziki okusov eden najboljših načinov za iskanje nove fizike.

# Super B v KEK



Namen: zmanjšanje  
elektronskega oblaka



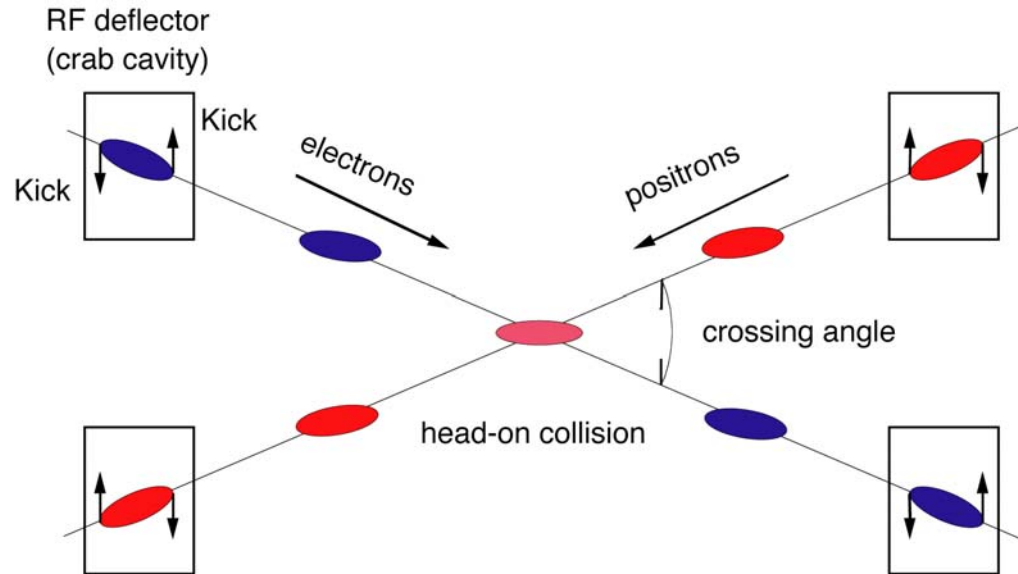
Obroč za dušenje

Linac:  
prenovitev

**Cilj:**  
 $L = 4 \times 10^{35} / \text{cm}^2 / \text{s}$

# Rakovo križanje žarkov

● Pričakujemo povečanje luminoznosti za faktor 2-2.5!



● Supraprevodni votlini za oba žarka bosta vgrajeni do konca tega meseca.



# Zahteve za detektor ob Super B

Kritične točke pri  $L = 4 \times 10^{35} \text{cm}^2/\text{sec}$

## - Višje ozadje ( $\times 20$ )

- sevalne poškodbe in zasedenost
- lažni zadetki in kopiranje šuma

## - Večje pogostost dogodkov ( $\times 10$ )

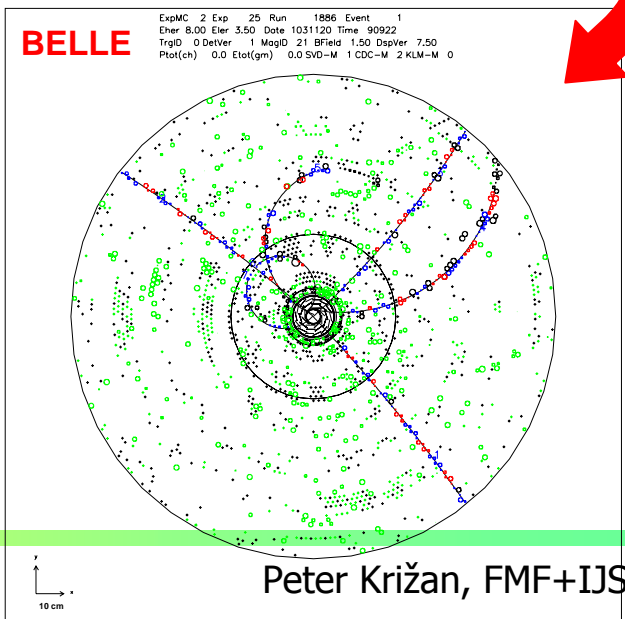
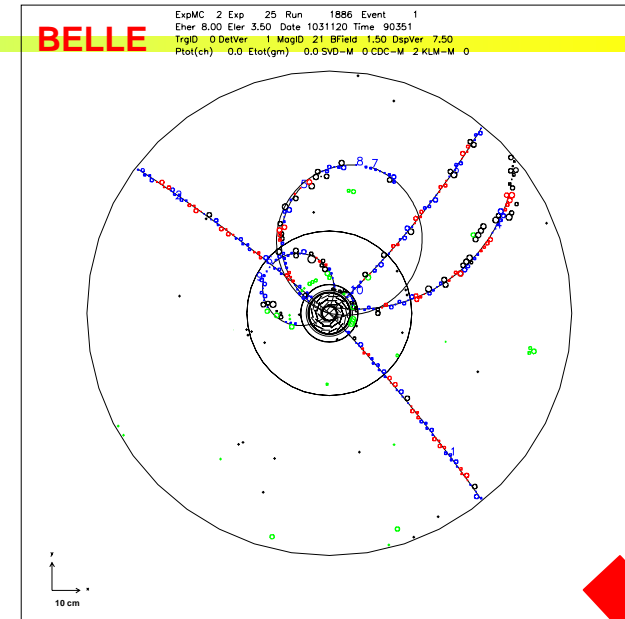
- hitrejši in učinkovitejši prožilni sistem, DAQ

## - Nove zahteve

- identifikacij  $\mu$  pri nizkih  $p$ :  $b \rightarrow s\mu\mu$
- hermetičnost: "rekonstrukcija"  $\nu$

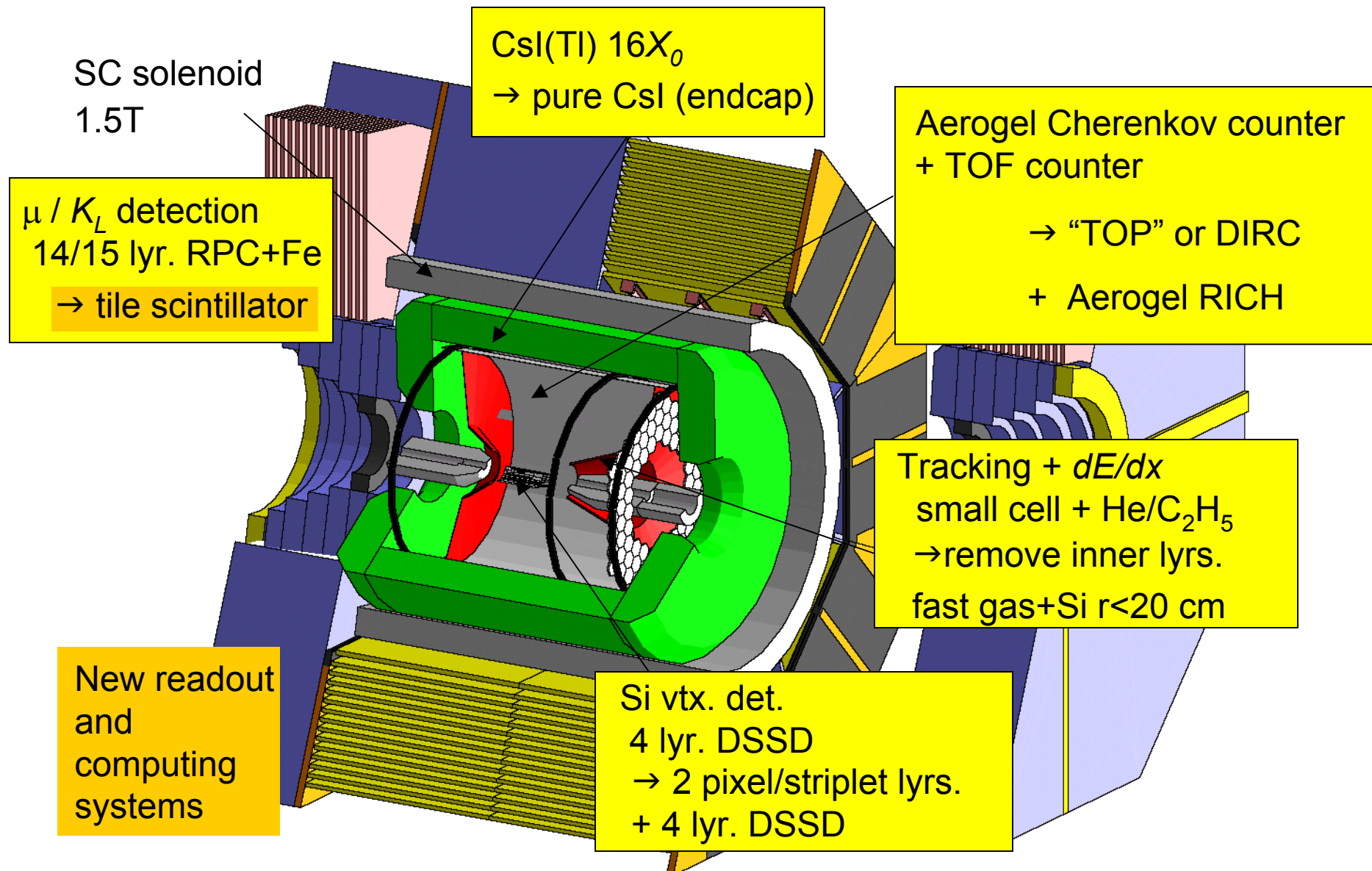
Možna rešitev:

- Zamenjava notranjih ravnin detektorja verteksov z detektorjem s krajsimi pasovi.
- Zamenjava notranjega dela drift komore z mikropasovnim silicijevim detektorjem.
- Boljša identifikacija nabitih delcev
- Zamenjava dela kalorimetra s čistim CsI.
- Hitrejša čitalna elektronika in računski sistem.



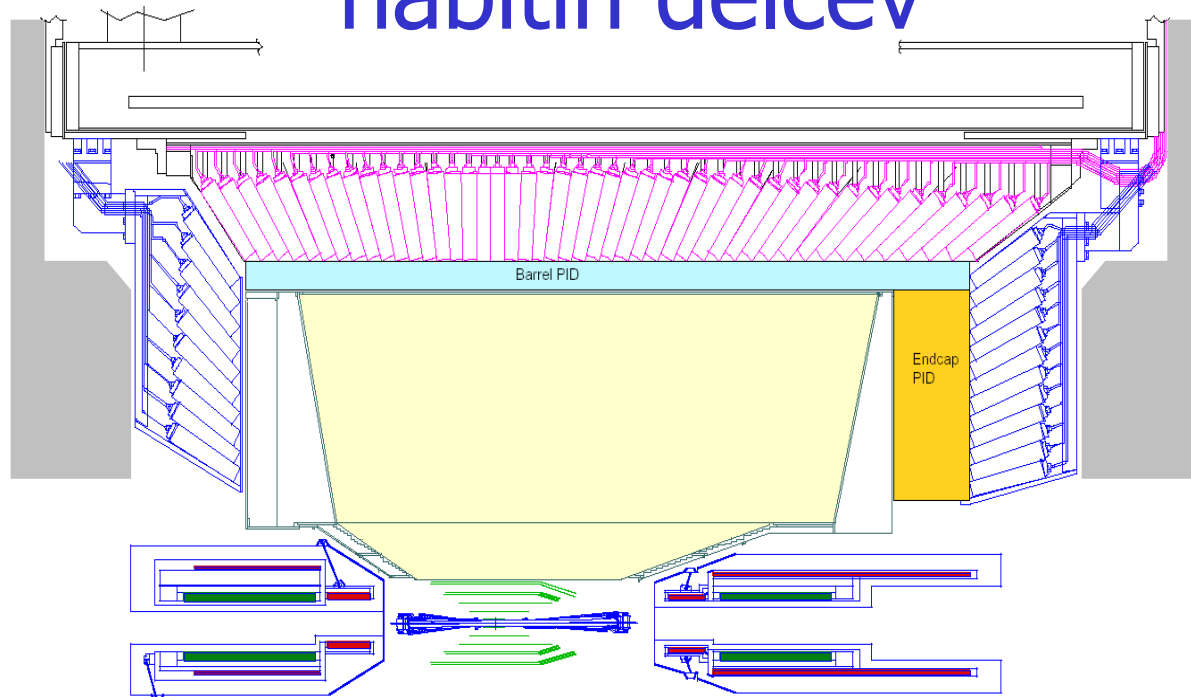


# Belle Upgrade for Super-B





# Izboljšava identifikacije nabitih delcev



**Izboljšati ločevanje  $K/\pi$  v smeri naprej (visoke gib. količine)** →

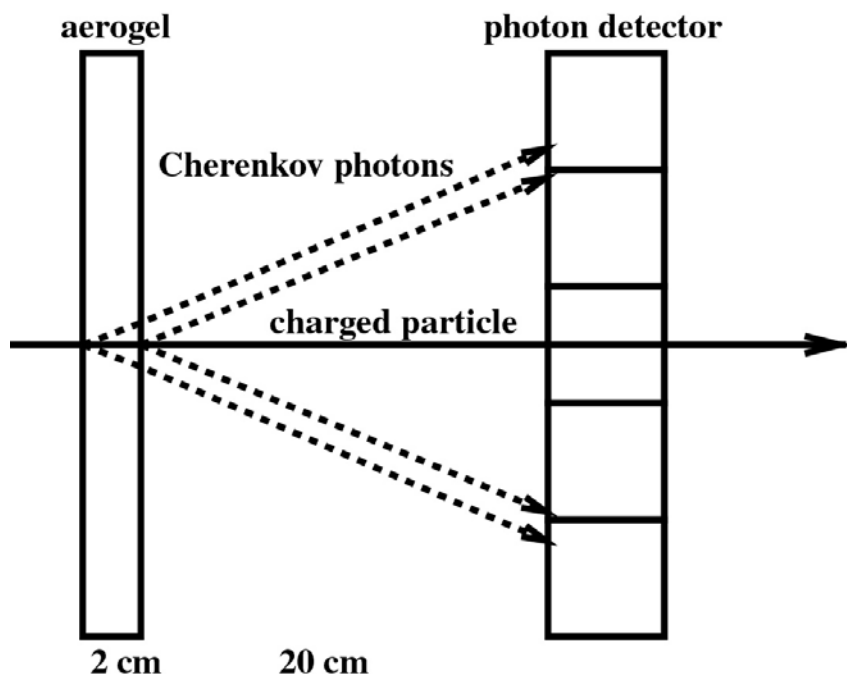
**Ločevanje  $K/\pi$  za meritve pingvinskih procesov  $b \rightarrow d\gamma$ ,  $b \rightarrow s\gamma$**

**Izboljšati čistost vzorca popolnoma rekonstruiranih mezonov B**

**Ločevanje  $e/\mu/\pi$  pri  $p < 1\text{GeV}/c$ :  $B \rightarrow K\bar{L}$**

**Ohraniti visok izkoristek za kaone, ki označujejo okus.**

# Smer naprej: detektor Čerenkovih obročev z aerogelom kot sevalcem



Ločevanje  $K/\pi$  pri  $4 \text{ GeV}/c$   
 $\theta_c(\pi) \sim 308 \text{ mrad}$  ( $n = 1.05$ )  
 $\theta_c(\pi) - \theta_c(K) \sim 23 \text{ mrad}$

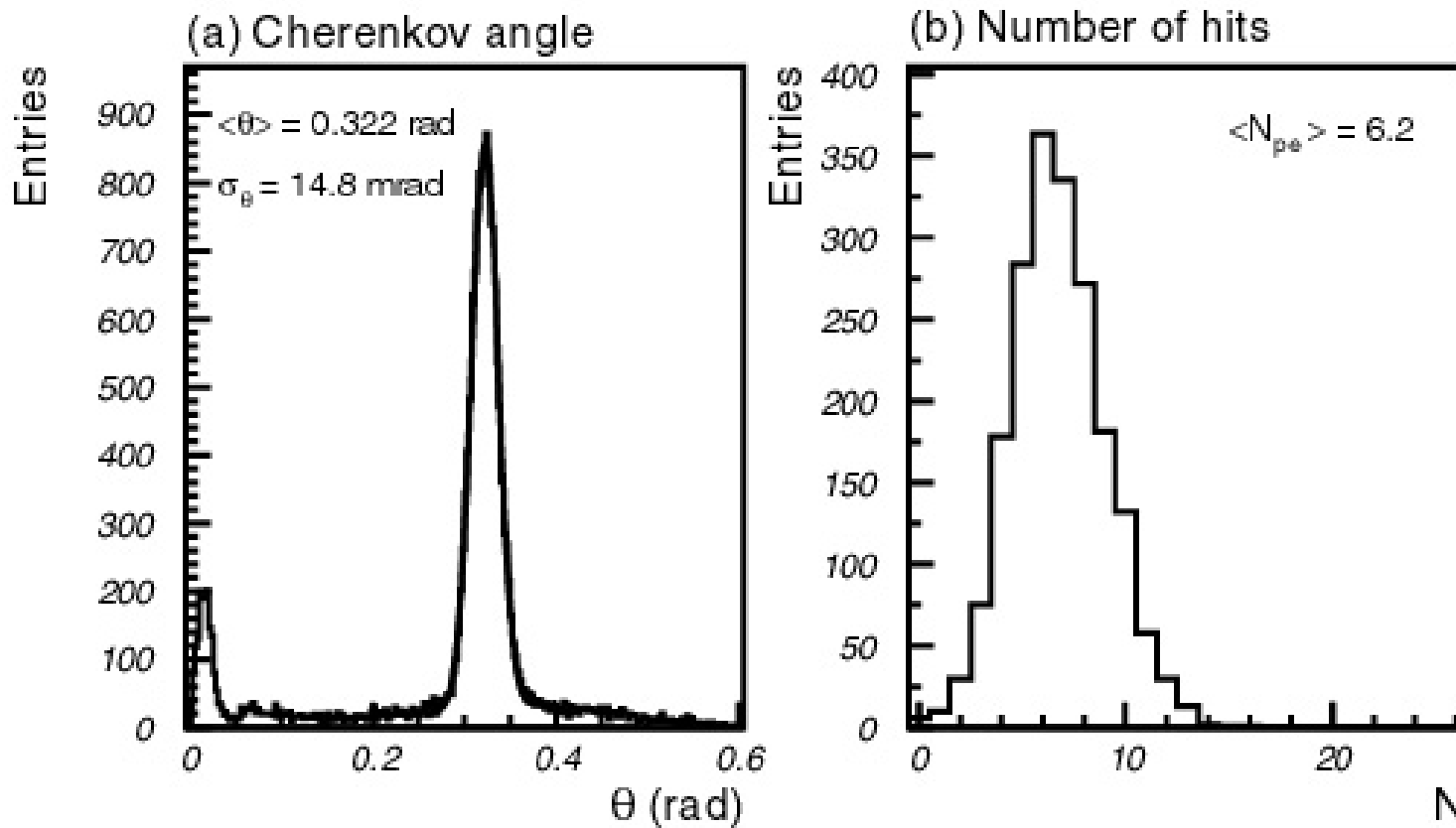
Posamezni fotoni:  
 $d\theta_c(\text{meritev}) = \sigma_0 \sim 13 \text{ mrad}$   
z  $20\text{mm}$  debelim aerogelom in  
blazinico z  $a=6\text{mm}$  v  
fotopomnoževalki

$$\sigma_\theta = \frac{\sigma_0}{\sqrt{N_{pe}}}$$

→ za ločevanje na  $6\sigma$   
potrebujemo  $N_{pe} \sim 10$

# Meritve v testnem žarku: resolucija in število fotonov

Rezultat meritve: ločevanje  $K/\pi$  boljše kot  $4\sigma$

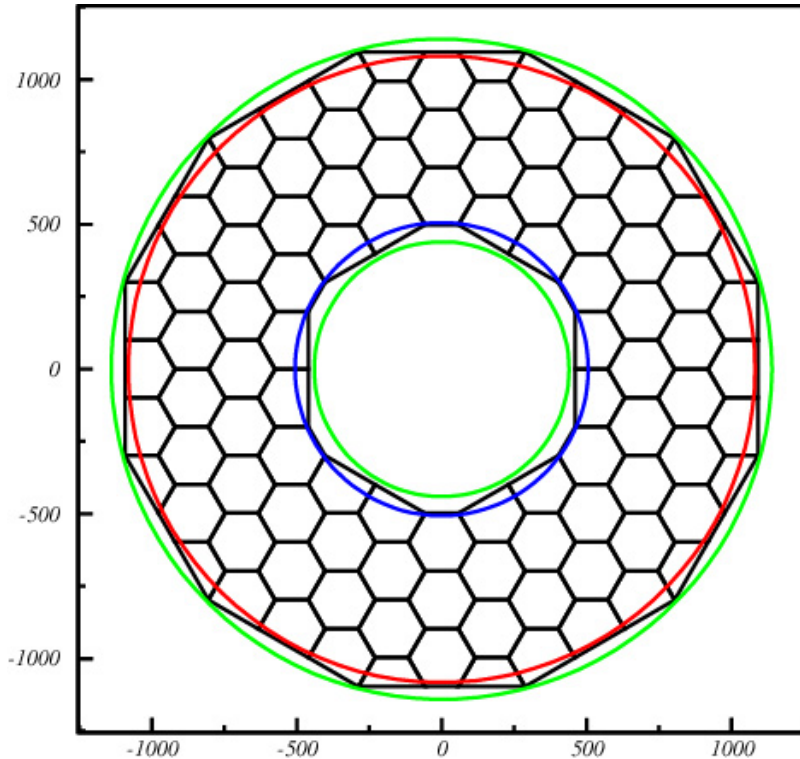


Zelo vzpodbudni rezultati!

Naslednji korak: → povečati število fotonov

# Aerogel kot sevalec

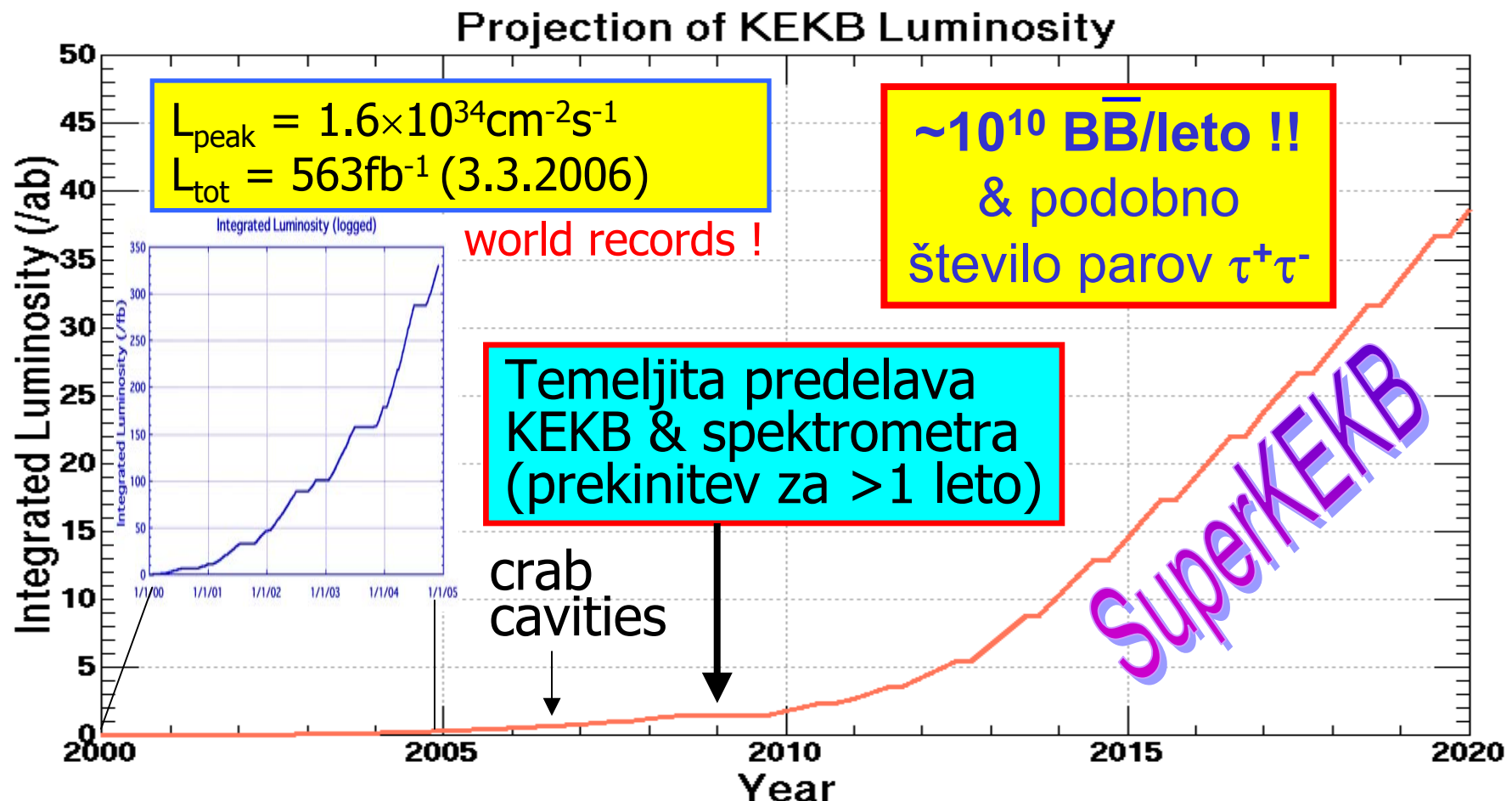
Zmanjšati izgube na robovih plošč → heksagonalna razdelitev površine



Heksagonalen kos dobimo z rezanjem z vodnim curkom – to gre, ker je naš aerogel hidrofoben.



# Izboljšave trkalnika: možen scenarij



$$\begin{array}{ll} L_{\text{peak}} (\text{cm}^{-2} \text{s}^{-1}) & 1.6 \times 10^{34} \\ L_{\text{int}} & 563 \text{ fb}^{-1} \end{array} \rightarrow$$

$$\begin{array}{ll} 5 \times 10^{34} & \\ \sim 1 \text{ ab}^{-1} & \end{array} \rightarrow$$

$$\begin{array}{ll} 5 \times 10^{35} & \\ \sim 10 \text{ ab}^{-1} & \end{array}$$



## Zaključek 1

- Meritev kršitve CP v sistemu mezonov B je pomembno orodje pri razumevanju razlike med snovjo in anti-snovo. Omogoča tudi natančno meritev nekaterih parametrov Standardnega modela.
- Kršitev CP v prehodih  $b \rightarrow s$  je pod pričakovanji Standardnega modela, vendar je rezultat statistično omejen.
- Asimetrija naprej-nazaj ( $A_{FB}$ ) v  $b \rightarrow s l^+ l^-$  postaja novo močno orodje pri iskanju fizike izven SM.
- Belle prehaja v obdobje precizijskih meritev.

.... in seveda imamo na zalogi še kup zanimivih rezultatov, o katerih nisem mogel poročati! →



## Zaključek 2

---

- Tovarne mezonov B so se izkazale kot pomembno okno v svet osnovnih delcev in njihovih interakcij
- Zanesljivo delovanje preko nekaj let, stalne izboljšave
- Kratkoročni načrt: povečati luminoznost **x3** z rako RF votlino
- Velika predelava v letih 2009-10 → Super B, **L x30**
- Pričakujemo novo, razburljivo obdobje odkritij, komplementarnih LHC
- Še boste slišali o nas...



## Dodatna literatura

---

Več in bolj podrobne razlage najdete na spletnih straneh mojega cikla predavanj na Univerzi v Barceloni

<http://www-f9.ijs.si/~krizan/sola/barcelona/barcelona.html>

Tam je tudi seznam priporočene literature.



# Dodatne prosojnice

---



# Belle Collaboration

Aomori U.

BINP

Chiba U.

Chonnam Nat'l U.

U. of Cincinnati

Ewha Womans U.

Frankfurt U.

Gyeongsang Nat'l U.

U. of Hawaii

Hiroshima Tech.

IHEP, Beijing

IHEP, Moscow

IHEP, Vienna

ITEP

Kanagawa U.

KEK

Korea U.

Krakow Inst. of Nucl. Phys.

Kyoto U.

Kyungpook Nat'l U.

EPF Lausanne

Jozef Stefan Inst. / U. of Ljubljana / U. of Maribor

U. of Melbourne

Nagoya U.

Nara Women's U.

National Central U.

National Taiwan U.

National United U.

Nihon Dental College

Niigata U.

Osaka U.

Osaka City U.

Panjab U.

Peking U.

U. of Pittsburgh

Princeton U.

Riken

Saga U.

USTC

Seoul National U.

Shinshu U.

Sungkyunkwan U.

U. of Sydney

Tata Institute

Toho U.

Tohoku U.

Tohoku Gakuin U.

U. of Tokyo

Tokyo Inst. of Tech.

Tokyo Metropolitan U.

Tokyo U. of Agri. and Tech.

Toyama Nat'l College

U. of Tsukuba

VPI

Yonsei U.



13. marec 2006

13 držav, 55 institucij, ~400 sodelavcev

Kolokvij, FMF

Peter Križan, FMF+IJS